

Vysoká škola strojní a textilní,  
Liberec

SDÍLENÍ TEPLA V TENKÉ VRSTVĚ

Kandidátská disertační práce

Ing. M. Beránek

Kandidátská disertační práce

UNIVERZITNÍ KNIHOVNA  
TECHNICKÉ UNIVERZITY V LIBERCI



3146114477

SDÍLENÍ TEPLA V TENKÉ VRSTVĚ

Autorské právo se řídí směrnicemi MŠK pro státní  
zivnostenskou složku č. j. 31 727/62-III/2 ze dne  
15. května 1962-Vestník MŠK XIII, sestřed 2/ze dne  
31. 8. 1962 § 19 autorského zákona č. 115/53 Sb.

VYSOKÁ ŠKOLA STROJNÍ A TEXTILNÍ  
Ústřední knihovna  
LIBEREC I, STUDENTSKÁ 5

Aspirant : Ing. Miroslav Beránek

Školitel : Prof.Ing. Dr techn. Karel Sýkora

Pracoviště : Vysoká škola strojní a textilní Liberec  
Katedra termomechaniky a technického měření

Liberec, červenec 1968

VŠST Liberec	Sdílení tepla v tenké vrstvě	Str. 2
-----------------	------------------------------	--------

Obsah

Str.

Použité označení	4
I. Úvod	7
II. Účel práce a popis zkušebního zařízení	9
III. Současný stav poznatků o řešeném problému podle literatury	18
IV. Nusseltova teorie lamenárné stékající tenké vrstvy a její porovnání s jinými výzkumy	28
1. Nusseltova teorie	28
2. Porovnání Nusseltovy teorie s dalšími výzkumy	34
V. Sdílení tepla v tenké vrstvě	35
1. Hydrodynamika stékající tenké vrstvy	36
a) Vizuální pozorování stékající tenké vrstvy	39
b) Stanovení střední tloušťky stékající tenké vrstvy	44
$\alpha$ ) Vlastní měření	44
$\beta$ ) Zhodnocení výsledků měření	52
c) Stanovení střední rychlosti stékající tenké vrstvy	54
$\alpha$ ) Vlastní měření	54
$\beta$ ) Zhodnocení výsledků měření	59
2. Přestup tepla ve stékající tenké vrstvě	61

Str.

a) Definice a způsob výpočtu	61
b) Uspořádání a postup měření	66
c) Stanovení množství sdíleného tepla	70
d) Stanovení střední teploty povrchu teplé desky	72
e) Stanovení součinitele přestupu tepla	73
VII. Zhodnocení výsledků a jejich porovnání s výsledky podle literatury	82
VIII. Zhodnocení práce a získané nové poznatky	90
VIII. Souhrn	92
IX. Použitá literatura	93
Seznam obrázků	96
Tabeulkujících hodnot	97
TAB.I Měřené střední tloušťky vrstvy	L 1 až L 6
TAB.II Měření střední rychlosti	L 7 až L 9
TAB.III Teplelná měření	L 10 až L 17

## Použitá označení

$\alpha = \frac{\lambda}{c_p \cdot \rho}$	$\text{m}^2 \text{ h}^{-1}$	součinitel teplotové vodivosti
$b$	$\text{m}, \text{mm}$	šířka
$B$	torr	barometrický tlak
$c$	$\text{kJ kg}^{-1} \text{ deg}^{-1}$	specifické teplo
$c_p$	$\text{kJ kg}^{-1} \text{ deg}^{-1}$	specifické teplo za konstantního tlaku
$f$	$\text{m}^2, \text{mm}^2$	průtočný průřez
$F$	$\text{m}^2, \text{mm}^2$	plachta
$g$	$\text{m s}^{-2}$	zemské zrychlení
$H$	$\text{m}$	výška
$i$	$\text{kJ kg}^{-1}$	entalpie
$K$		konstanta
$L$	$\text{m}, \text{mm}$	délka
$M$	$\text{kg h}^{-1}, \text{kg s}^{-1}$	průtočné množství
$p$	$\text{kPa cm}^{-2}, \text{torr}$	měrný tlak
$\Delta p$	$\text{kPa cm}^{-2}$	tlakový spád
$p_{\text{re}}, p_0$	$\text{kPa m}^{-2}$	parciální tlak v povrchové ploše vrstvy resp. okolí
$Q$	$\text{kJ h}^{-1}$	sdělené teplo
$Q_{\text{rel}}$	$\text{kJ h}^{-1}$	tepelný tok na povrchové ploše vrstvy
$Q_0$	$\text{kJ h}^{-1}$	množství tepla potřebné k ohřátí vrstvy
$r$	$\text{kJ kg}^{-1}$	výparné teplo
$R$	$\text{kpm kg}^{-1} \text{ deg}^{-1}$	plynová konstanta

$s$		bezrozměrná veličina v rov.(26)
$t$	°C	místní teplota
$t_k$	°C	teplota kapaliny
$t_s$	°C	teplota stěny
$\bar{t}_k$	°C	střední teplota kapaliny
$\bar{t}_s$	°C	střední teplota stěny
$t_{sk}$	°C	teplota sytosti kapaliny
$\bar{t}$	°C	střední povrchová teplota desky v příčném průseku
$t_{str}$	°C	střední povrchová teplota desky
$t_{pl}, t_o$	°C	teplota povrchové plochy vrstvy resp. okolí
$T$	°K	absolutní teplota
$u^*$	$m s^{-1}$	rychlosť tečného napětí
$u^+ = u/u^*$		bezrozměrná rychlosť
$U$	$m, mm$	šířka, obvod
$V$	$m^3 h^{-1}, m^3 s^{-1}$	průtočný objem
$w$	$m s^{-1}$	místní rychlosť
$\bar{w}$	$m s^{-1}$	střední rychlosť
$w_m$	$m s^{-1}$	povrchová rychlosť
$x, y, z$	$m, mm$	pořadnice, vzdálenost
$y^+ = u^+ y / \nu$		bezrozměrná vzdálenost
$Re = \frac{\bar{w} \sigma}{\nu}$		Reynoldsovo kriterium
$Re_{krit}$		kritické Reynoldsovo číslo
$Nu = \frac{\alpha \sigma}{\lambda}, \bar{Nu} = \frac{\bar{\alpha} \sigma}{\lambda}$		Nusseltova kriteria
$Nu_p$		Nusseltovo číslo vytvořeného proudění

VŠST Liberec	Sdílení tepla v tenké vrstvě	Str. 6
-----------------	------------------------------	--------

$\rho_r = \frac{y}{a}$		Prandtlovo kriterium
$\alpha$	$\text{kJ m}^{-2} \text{ h}^{-1} \text{ deg}^{-1}$	místní součinitel přestupu tepla
$\bar{\alpha}$	$\text{kJ m}^{-2} \text{ h}^{-1} \text{ deg}^{-1}$	střední součinitel přestupu tepla
$\bar{\alpha}_L$	$\text{kJ m}^{-2} \text{ h}^{-1} \text{ deg}^{-1}$	střední součinitel přestupu tepla vztažený na délku trubky
$\bar{\alpha}_{\lambda f}$	$\text{kJ m}^{-2} \text{ h}^{-1} \text{ deg}^{-1}$	střední součinitel přestupu tepla na povrchové ploše vrstvy
$\bar{\beta}$	$\text{m h}^{-1}$	střední součinitel přenosu hmoty
$\tau$	$\text{kp m}^{-3}$	měrné tíže
$\sigma$	$\text{m}, \text{mm}$	střední tloušťka stékající vrstvy
$\sigma_{min}$	$\text{m}, \text{mm}$	minimální " zbytková " tloušťka stékající vrstvy
$\sigma_{max}$	$\text{m}, \text{mm}$	maximální tloušťka stékající vrstvy
$\mu$	$\text{kp s m}^{-2}$	dynamická viskozita
$\lambda$	$\text{kJ m}^{-1} \text{ h}^{-1} \text{ deg}^{-1}$	součinitel tepelné vodivosti
$\varphi$		úhel
$\nu$	$\text{m}^2 \text{ s}^{-1}$	kinematická viskozita
$\rho$	$\text{kg m}^{-3}$	měrná hmota
$\tau_s$	$\text{kp m}^{-2}$	tečné napětí na stěně

## I Úvod

Problematika úkolu řešeného v rámci kandidátské disertační práce " Sdílení tepla v tenké vrstvě " vyplynula z výzkumných úkolů řešených na katedře termomechaniky a technického měření VŠST pod vedením Prof.Ing. Dr techn. K.Sýkory. Práce byly prováděny ve spolupráci s průmyslem a v rámci řešení resortního výzkumného úkolu " Sdílení tepla při odpařování ve vertikálních trubkách při přirozené cirkulaci ".

Těmito pracemi byly objasněny podmínky sdílení tepla a odvozeny obecné vztahy pro součinitele přestupu tepla při odpařování ve vertikálních trubkách.

Jako nový vývojový stupeň odparek převážně z technologických požadavků se uplatnily odparky s odpařováním v tenké vrstvě. Pro vzájemná porovnání cirkulační odparky a odparky s tenkou vrstvou však nebylo v odborné literatuře dosud podkladů, které by obsahovaly podmínky sdílení tepla v tenké vrstvě a objasňovaly tento mechanismus.

Objasnění těchto podmínek se proto stalo cílem předložené disertační práce. Pro experimentální výzkum byla zvolena rovinatá deska o rozměrech 1 100 x 288 mm<sup>2</sup> vytápená kondensující parou, kterou bylo možno nastavit v libovolné poloze mezi krajními polohami vertikální a horizontální. Rovinatá deska byla zvolena proto, že dává předpoklady popsat a také řešit matematicky zvolený problém.

Cena zkušebního zařízení, které muselo být provedeno z nerezavějící oceli byla ovšem značná. Příslušnou finanční pomoc poskytl s velkou ochotou Průmysl mléčné výživy s tím, že výsledky budou případně využity pro vývojová zařízení v potravinářském průmyslu.

Jsem velmi zavázán svému školiteli Prof.Ing. Dr techn. K. Sýkorovi za cenné rady a připomínky, kterými při řešení této problematiky usměrňoval moji práci. Na tomto místě děkuji také všem spolupracovníkům, kteří mi byli nápomocni při časově značně náročných měřeních.

## II Účel práce a popis zkušebního zařízení

Využívání poznatků nové techniky se uskutečňuje ve všech odvětvích průmyslu. V zařízeních tepelně-technických se nová moderní zařízení, vyznačující se velkou kapacitou, používají hlavně ze dvou důvodů. Jeden z nich je ekonomický, kdy intensifikaci sdílení tepla se dociluje snížení investičních a provozních nákladů. Druhý důvod vyplývá z podmínek technologických, kdy u velkého počtu procesů je dán požadavek, aby sdílení tepla probíhalo co nejvýhodněji a nejrychleji s ohledem na kvalitu výrobků; ta je často závislá na teplotě, při níž se pochod uskutečňuje a na době, po kterou má výrobek určité teplotu výsobí.

Jedním ze způsobů sdílení tepla, který může splnit tyto požadavky, je sdílení tepla v tenké vrstvě. Se zavedením tohoto způsobu sdílení tepla byla vymožena řada výhod, ale vzniklo tím i mnoho nových problémů. Zjistilo se, že sdílení tepla v tenké vrstvě je velmi ovlivňováno mezní vrstvou, jejíž tloušťka nebo vliv jsou opět závislé na jejím vytvoření a také na pochodu, který v zařízení probíhá ( chlazení, ochlazování ). U moderních zařízení je proto zřejmá snaha ovlivňovat vytváření mezní vrstvy a tím působit na intensifikaci sdílení tepla. Podstatný vliv má i vazkost zpracovávané kapaliny, která ovlivnuje jak tloušťku mezní vrstvy, tak i tloušťku tenké vrstvy.

Pro objasnení funkce a provedení těchto zařízení bude

účelné uvést jejich stručný popis.

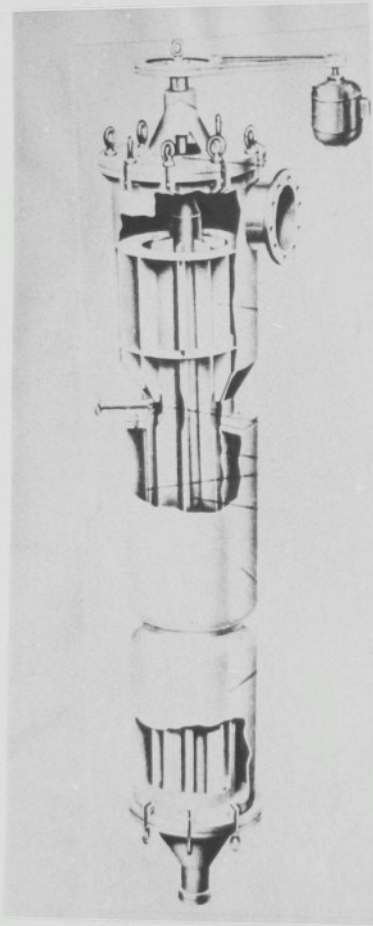
Zařízení, pracující s tenkou vrstvou, je možno z hlediska jejího vytváření rozdělit do těchto základních skupin :

a) zařízení s mechanicky vytvářenou tenkou vrstvou

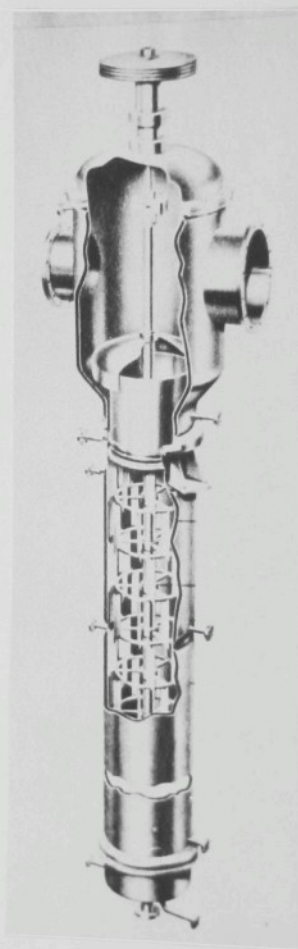
U těchto zařízení je tenká vrstva vytvářena mechanicky pomocí stírače. Zpracovávaná kapalina je nastřikována na vnitřní stěnu válce, stírač je roztírána po povrchu a působením gravitace stéká po stěně dolů.

Uvedený princip vytváření tenké vrstvy se ujistil v konstrukci odpařovacích zařízení. Dle provedení stíračů rozlišuje se zařízení na zařízení s pevnými stírači - typ Luwa, obr. 1 - a na zařízení s kyvnými stírači - typ Sambay, obr. 2 .

V prvním případě je tloušťka vrstvy určována vzdáleností mezi koncem stírače a stěnou válce. Nevhodou tohoto provedení je nerovnoměrná tloušťka vrstvy v důsledku ovality válce, po kterém je kapalina roztírána. Nepříznivě se projevuje i vliv změny průtokového množství na intensitu stíracího účinku a zvětšení spotřeby energie o energii potřebnou k pohonu stírače. Výhodou je ovlivnění tloušťky mezní vrstvy stíracím účinkem, což se příznivě projevuje ve zvýšené intensitě sdílení tepla. Druhé provedení s kyvnými stírači odstraňuje nevhodu konstantní vzdálenosti mezi stírači a stěnou. Tloušťka vrstvy se nastavuje samočinně podle přítlačné síly stírače a podle viskozity kapaliny. Stírací účinek s tím i ovlivnění mezní vrstvy je větší a v důsledku toho je i příznivější mechanismus sdílení tepla.



Obr. 1  
Odparka s pevnými stírači  
typ Luwa



Obr. 2  
Odparka s kryvnými stírači  
typ Sambay

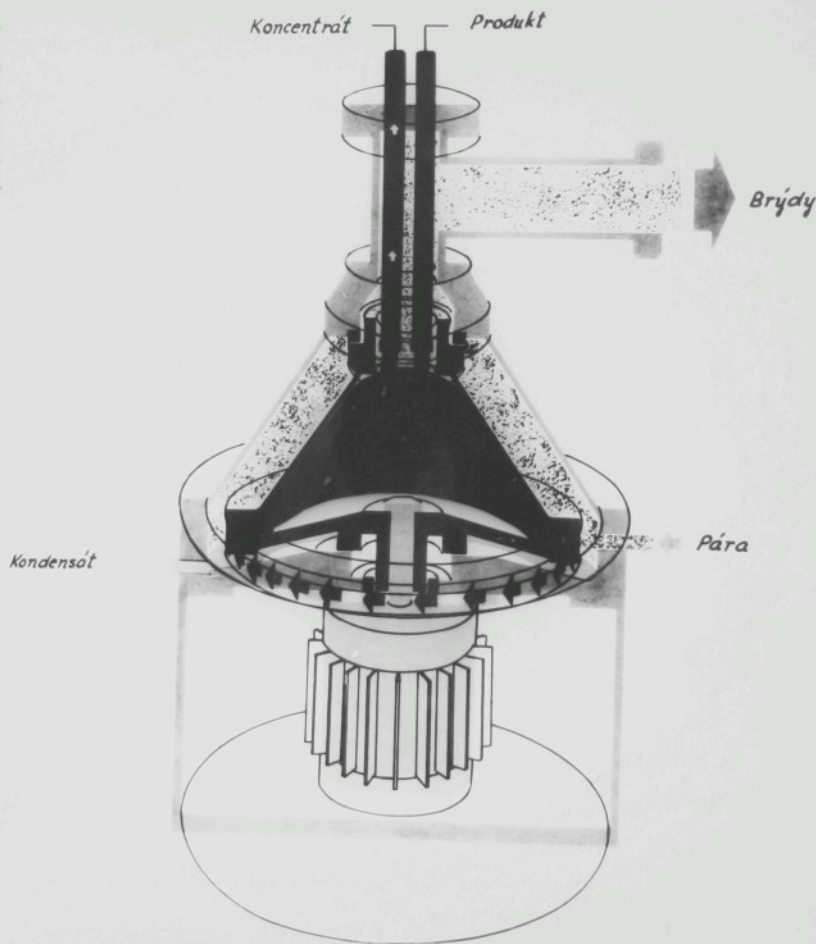
## b) zařízení s nuceně stekající tenkou vrstvou

Zařízení tohoto typu patří k nejmodernějším a jejich vývoj dosud nebyl ukončen. Typickým představitelem tohoto provedení je Centritherm vyráběný firmou Alfa - Laval, jehož princip je zřejmý z obr. 3. Zpracovávaná látku stéká nuceně působením odstředivé síly po povrchu rotujícího kuželeta, který je vytápen. Snaha ovlivnit tloušťku mezní vrstvy je zřejmá; tloušťka této vytvářené tenké vrstvy je asi 0,05 mm. Těchto zařízení se s výhodou užívá ke zpracování látek citlivých na teplotu. Nevhodou provedení je obtížná konstrukce (těsnění rotujících částí a zvýšená spotřeba energie nutné k pohonu kuželetu).

## c) zařízení s gravitačně stekající tenkou vrstvou

U těchto zařízení se stekající tenká vrstva vytváří působením gravitace. Tloušťka tenké vrstvy v tomto případě může být ovlivněna pouze příložným množstvím látky. Přes tuhodnuhu jsou zařízení tohoto typu v důsledku své jednoduchosti široce používána jako např. sprchové chladiče, trubkové odparky, destilační a rektifikaci kolony, chladicí věže aj. Jako již bylo uvedeno, jejich předností je jednoduchost provedení; nevýhoda spočívá v obtížích vyplývajících z udržení celistvosti vrstvy tak, aby pokryvala celou teplotmennou plochu a v tom, že rychlosť stékání vrstvy není možno ovlivnit. Větší viskozita látky se projevuje nepříznivě a sdílení tepla přechází na sdílení tepla vedením.

Obtížnost popsání mechanismu sdílení tepla v tenké vrstvě spočívá v tom, že tento proces ovlivňuje velmi mnoho



Obr. 3

Odparka Centritherm s nuceně stékající tenkou vrstvou

činitelů. Mezi nejvýznamnějšími je možno jmenovat způsob vytváření vrstvy, hydrodynamické poměry při stekání, tloušťku vrstvy, směr tepelného toku ( zde se jedná o ohřívání či o ochlazování látky ), viskozitu, materiál a jakost povrchu ploch a další. I když - vzhledem ke značnému průmyslovému využívání - bylo vynaloženo mnoho úsilí k objasnění sdílení tepla v tenké vrstvě, nejsou dosud v literatuře dostatečně vypočetové podklady. Údaje udávané jednotlivými autory jsou pouze dílní a nedovolují zobecnění. Převážná část výzkumů byla prováděna na zařízeních, kde stéká tenká vrstva v gravitačním poli převážně po vnitřním nebo vnějším povrchu svislých trubek. Vzhledem k rozdílu zařízení ( poměrně malý průměr trubky vzhledem k velké délce ) je velmi obtížné udržet na teplotmenné ploše souvislou vrstvu kapaliny. To může způsobit značné potíže při vlastním provozu těchto zařízení,

S ohledem na tuto skutečnost byla v návrhu zkoušebního zařízení zvolena roviná plocha, dávající předpoklasy pro vytvoření stabilnější tenké vrstvy, lepšího zvládnutí hydrodynamických poměrů a dokonalou kontrolu vrstvy. V návrhu zařízení se předpokládal minimální sklon plochy, aby vynikl vliv gravitačního pole na mechanismus sdílení tepla.

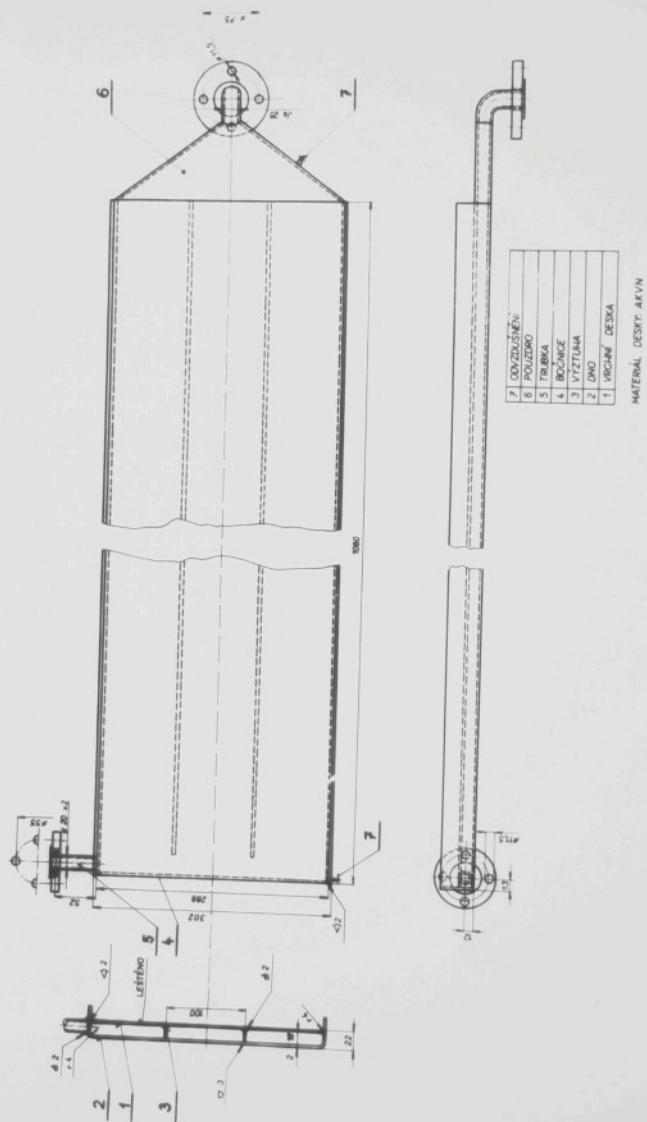
Roviná plocha byla vytvořena ocelovou deskou, kterou je možno vytáhnout a jejíž sklon je minimální mezi vodorovnou a svislou polohou. Jako tepelný zdroj byla zvolena vodní péra. Navržené zařízení bylo zhotoven z nerezavějící oceli AKVN v SONP Klečno, oddělení Anticorro.

Problematika mechanismu sdílení tepla v tenké vrstvě

při ohřívání a zvláště při přeměně skupenství - odpařování je složitá a rozsáhlá. Z toho důvodu byl problém zúžen pouze na otázku sdílení tepla při ohřívání stékající tenké vrstvy. V návaznosti na tento úkol pak bude pokračováno s řešením sdílení tepla při odpařování. Otázku sdílení tepla při ohřívání je nutno řešit také z toho důvodu, že u všech odpařovacích zařízení existuje tzv. "dohřívací zona", v níž se zpracovávaná kapalina dohřívá na teplotu varu.

Navržené zkoušební zařízení bylo po zhodovení instalováno v laboratoři katedry termomechaniky VŠST v květnu r. 1965. Hlavní část tvoří deska z nerezavějící oceli AKVN o rozměrech  $1\ 100 \times 228\ mm^2$  ( viz obr. 4 ), která je v podstatě plochou krabicí, jejíž vnitřní prostor je možno vytápět. Podél je deska vyztužena žebry, aby bylo zabráněno deformacím. Povrchová plocha desky, po níž stéká tenká vrstva, byla broušena. Tenká vrstva se vytváří na počátku desky výtokem štěrbinou, která vznikne mezi povrchem desky a hradítkem, jehož polohu je možno libovolně měnit pomocí dvou mikrometrických šroubů. Velikost štěrbiny byla kontrolována spárovými měrkami.

Zkušební deska je uložena ve stojanu tak, že její sklon je možno měnit. Pro zkoušky byly zvoleny tři základní polohy : Svislá  $\varphi = 90^\circ$  ( kde  $\varphi$  je úhel mezi deskou a vodorovnou rovinou ) a sklon  $\varphi = 60^\circ$  a  $\varphi = 30^\circ$ . Poloha desky byla fixována pomocí zápedkového mechanismu. Zkoušky byly prováděny s vodou.



Obr. 4

Provedení zkušební desky

Katedra termomechaniky

Voda byla na desku přiváděna ze zásobní nádrže, vybavené kontrolním stavoznakem a přepadem. Zásobní nádrž byla uspořádána nad deskou.

Zkušební zařízení bylo postupně pro zkoušky hydrodynamické a tepelné vhodně upraveno, aby bylo možné určit hodnoty potřebné k popsaní jemně za nastavených podmínek. Způsob úpravy bude dále uveden.

Nesbytnou podmínkou pro možnost stanovení podmínek pro sdílení tepla v tenké vrstvě je ovšem znalost hydrodynamiky stáčející tenké vrstvy. Bylo proto nutno objasnit nejprve tuto otázku.

### III Současný stav poznatků o řešeném problému podle literatury

Přes značné využívání sdílení tepla v tenké vrstvě v technické praxi jsou poznatky v literatuře, zabývající se těmito problémy poměrně malé a výsledky, udávané jednotlivými autory pouze dílčí.

Teoretické základy pro řešení sdílení tepla v tenké vrstvě a hydrodynamiky stékající tenké vrstvy po svislé ploše položil Nusselt [1], [1a]. Vzhledem k tomu, že ostatní výzkumní pracovníci, zabývající se řešením této otázky, z této teorie vycházejí, budou její základy uvedeny ve zvláštní kapitole IV. Dále uváděně nové práce autorů významně přispěly k postupnému řešení problému.

Nusseltova teorie, platná pro laminární charakter stékání, jako jeden z předpokladů své platnosti stanoví hladkou povrchovou vrstvu stékající tenké vrstvy. Výzkumy bylo ale zjištěno, že tento předpoklad je splněn pouze u malých hodnot Reynoldsových čísel. S rostoucími hodnotami Reynoldsova čísla vznikají na povrchové ploše vlny nepravidelného charakteru, i když laminární charakter stékání zůstává zachován.

Reynoldsovo číslo je obecně definováno výrazem

$$Re = \frac{w \ell}{\nu}$$

kde  $w$  je rychlosť

$\nu$  kinematická viskozita

$\ell$  charakteristický rozměr

V případě stékající tenké vrstvy se za charakteristický rozměr volí tloušťka tenké vrstvy  $\sigma$ , takže Reynoldsovo číslo je pak definováno rovnicí

$$Re = \frac{w\sigma}{\nu}$$

Vzhledem ke zjištění vlnového charakteru stékání, byla řešena otázka platnosti Nusseltovy teorie i pro tento případ. Touto otázkou se zabýval Kirkbride [4], Friedman a Miller [6], Pennie a Belanger [5] a další.

Kirkbride řešil otázkou stékání vodní nebo olejové vrstvy po vnějším povrchu trubky o délce 760 mm. Měření tloušťky vrstvy prováděl pomocí mikrometrického šroubu.

Friedman a Miller zjišťovali poměry při stékání vodní, olejové a kerosenové tenké vrstvy po vnitřním povrchu svíslé skleněné trubky o průměru  $\varnothing 25,4$  a  $15,9$  mm, délky 1 270 mm. Střední tloušťka vrstvy byla určována měřením množství zádrže.

Pennie a Belanger použili svíslé měděné trubky průměru  $\varnothing 12,8$  mm, po jejímž vnitřním povrchu stékala tenká vodní vrstva. K měření tloušťky vrstvy byl použit mikrometrický šroub.

Všechna tato měření přes svoji náročnost ( malé průměry trubek ) prokázala platnost a použitelnost Nusseltovy teorie i pro vlnový charakter stékání.

Pro oblast turbulentního charakteru stékání tenké vrstvy není mnoho podkladů. Mezi nejvýznamnější patří práce Duklera a Bergelina [3], Brauera [8] a Feinda [11].

Dukler a Bergelin použili svislé mosazné desky o roz- měrech  $614 \times 2040 \text{ mm}^2$ , po níž stékala vodní tenká vrstva, jejíž tloušťku zjišťovali elektricky na základě změny kapacity. Zjistili, že pro větší hodnoty Reynoldsových čísel než asi 400 Nuseltova teorie nedává shodné výsledky s experimentem. Snažili se proto o vytvoření teorie pro oblast turbulentního charakteru stékání.

Vycházeli z předpokladu vytvoření rychlostního profilu ve vrstvě jako v případě turbulentního proudění v potrubí. Této podmínce lze vyhovět zavedením tzv. rychlosti tečného napětí ve tvaru

$$u'' = \sqrt{\tau_s / \rho g}$$

v bezdimensionální formě  $u^+ = u''(y')$

V těchto výrazech značí

$\tau_s$  tečné napětí na stěně

$u''$  bezrozměrnou rychlosť

$y'$  bezrozměrnou vzdálenost od stěny

$\rho$  měrnou hmotu

Je tedy

$$u^+ = w/u''$$

a

$$y^+ = u''y/\nu$$

kde  $w$  je místní rychlosť

$\gamma$  kinematická viskozita

Pro objem  $V$  stékající tenké vrstvy za jednotku času po trubce nebo desce o obvodu resp. čířce  $U$  platí vztah

$$V = U \gamma \int_0^b u^* dy^*$$

kde  $b = y^+$  pro  $y = \sigma$ .

Výsledkem řešení jsou závislosti

$$Re + 64 = b(3,0 + 2,5 \ln b)$$

8

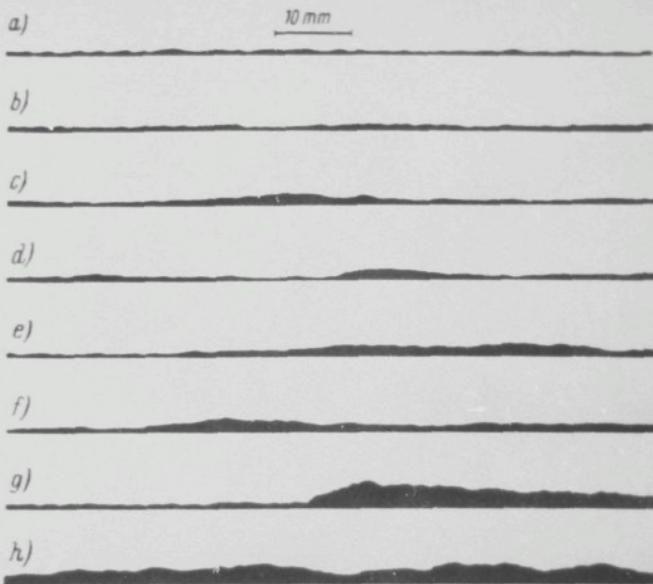
$$b = u^* \sigma / \gamma$$

z kterých je možno určit tloušťku  $\sigma$  turbulentně stékající tenké vrstvy. Je zřejmé, že pro praktické použití tato formulace není vhodná, neboť předpokládá znaloost tečného napětí na stěně  $\tau_s$ .

Mezi nejvýznamnější patří výsledky uvedené Brauerem (187). Brauer se podrobně zabýval hydrodynamikou stékající tenké vrstvy. Štěrbinou vytvořená tenká vrstva stékala po vnějším povrchu mosazné svislé trubky průměru Ø 45 mm, délky 1 800 mm. Měření prováděl s vodou a směsí vody a glycerinu v různých poměrech v rozmezí Reynoldsova čísla 20 až 1 670.

Brauer podrobně řešil otázkou charakteru stékání tenké vrstvy, její maximální, střední a tzv. zbytkovou tloušťku. K určení střední tloušťky vrstvy  $\sigma$  použil metodu stínové fotografie, spočívající na principu rychlého exponování osvětleného profilu stékající tenké vrstvy na fotografickou

desků. Ukázka těchto snímků pro různé poměry je na obr. 5. Je zřejmý neusporádaný a nepravidelný vlnový charakter vrstvy.



Obr. 5

Stínové fotografie stékající tenké vrstvy dle  
Brauera [8].

- a) a b) profily při  $Re = 86$  a  $\sigma^* = 0,270$  mm,
- c) a d) při  $Re = 420$  a  $\sigma^* = 0,455$  mm,
- e) a f) při  $Re = 740$  a  $\sigma^* = 0,620$  mm,
- g) a h) při  $Re = 1\,670$  a  $\sigma^* = 0,960$  mm

Střední tloušťku vrstvy pak Brauer určoval planimetrováním plochy stínové fotografie. Výsledky měření prokázaly platnost Nusseltovy teorie i v oblasti vlnového stékání.

Důležitou otázkou, řešenou v této práci, je otázka přechodu z laminárního stékání do turbulentního, tedy hranice platnosti Nusseltovy teorie. Z výsledku autorů, zabývajících se tímto problémem, vyplývá pro hodnotu kritického Reynoldsova čísla oblast hodnot  $Re_{krit} = 270$  až  $590$ . Brauer udává hodnotu  $Re_{krit} = 400$  a tuto hodnotu přejala i literatura poslední doby, popisující tento případ. Avšak - podobně jako v případě proudění potrubím - i zde nenastane náhlý přechod od laminárního proudění k turbulentnímu, ale vznikne oblast přechodu. Tato otázka nebyla dosud spolehlivě vyřešena. Pro oblast turbulence stanovil Brauer pro střední tloušťku stékající tenké vrstvy empirický výraz

$$\sigma = 0,302 \left( \frac{3 \nu^2}{g} \right)^{1/3} Re^{8/15}$$

Brauer se zabýval i určením rychlosti stékající tenké vrstvy. Měřením zjistoval povrchovou rychlosť vrstvy tím způsobem, že určoval dobu potřebnou k proběhnutí určité vzdálenosti destičky z umělé hmoty, unášené kapalinou. Průměr destičky byl  $\varnothing 1\text{ mm}$ , tloušťka  $0,1\text{ mm}$ . Měření opět prokázalo platnost Nusseltovy teorie pro laminární oblast.

Brauerovy výsledky potvrdil Feind /11/ výzkumy i pro viskozní kapaliny ( $\nu$  až do  $\nu = 19,7 \cdot 10^{-6} \text{ m}^2 \text{ s}^{-1}$ ), který prováděl měření na svislých mosazných trubkách průměru  $\varnothing 49,8$  a  $19,9\text{ mm}$ , délky  $2\ 800\text{ mm}$ , stékající vrstva uvnitř. Tloušťku vrstvy zjistoval z množství zádrže na ploše. Jako zkušební látky byly používány směsi vody a diethylenglykolu o různých koncentracích.

Vlnový charakter stékání se pokusil teoreticky popsat Kepice [9, 10], který vycházel z předpokladu sinusového tvaru vln stékajících po svislé ploše. Avšak výsledky Brauera (viz obr. 5) ukazují neoprávněnost tohoto předpokladu.

Banerjee [12] fotograficky dokumentoval charakter stékání vrstvy. Jeho výsledky - stékání vodní vrstvy po svislé skleněné desce - jsou ovšem ovlivněny malými rozměry zařízení, které byly  $150 \times 750 \text{ mm}^2$ . Přesto prokázaly nepravidelnost tvorby vln.

Sdílením tepla ve stékající tenké vrstvě se zabývala řada badatelů, jejichž výsledky s vzájemným jejich porovnáním střížují nebo vůbec nedovolují různé podmínky, při kterých byly stanoveny. Výsledky budou ovlivněny nejen tvarem, rozměry a polohou teplosměnného zařízení, ale i způsobem vytápění.

Mzi nejvýznamnější práce z této oblasti patří výzkumy Grigulla [2], [2a], Sexauera [16], Garwina a Kellyho [17], Mc Adamsa, Drella a Bayse [18] a Wilkeho [19].

Grigull se zabýval sdílením tepla při kondensaci do turbulentní stékající tenké vrstvy po svislé ploše. Řešení tohoto problému aplikoval Prandtlovu analogii pro proudění v potrubí na turbulentní stékající tenkou vrstvu. Prandtlova analogie je založena na platnosti pohybové rovnice ve tvaru

$$\rho \frac{\partial u}{\partial (x, y, z)} = - \operatorname{grad} p + \mu V^2 u$$

tepla. Náměřené výsledky vyhovují kriteriální rovnici pro střední Nusseltovo číslo, vztahené na délku trubky  $L$

$$\overline{Nu}_L = \frac{\overline{\alpha} L}{\lambda} = K \cdot Re^{0.5} \cdot Pr^{0.15} \left( \frac{L}{L_s} \right)^{0.935}$$

kde  $L_s = 1 \text{ m}$  je poměrná délka

$K$  konstanta, mající pro mosaz hodnotu 159, pro ocel 137.

Zajímavý je rozdílný údaj pro dva základní druhy materiálu a tedy jeho vlivu na přestup tepla. Nevýhodou Sexauerova vyjádření je vztahené Nusseltovo číslo na délku trubky  $L$ .

Američtí badatelé ( Garwin a Kelly, Mc Adams ) výjadrují výsledky mřenf do tvaru

$$\overline{\alpha} = \text{konst} \left( \frac{M}{U} \right)^n$$

kde  $\overline{\alpha}$  je střední součinitel přestupu tepla

$M$  protékající věhove množství látky

$U$  obvod resp. šířka trubky nebo desky

$n$  exponent

Výhoda tohoto vyjádření spočívá v tom, že není třeba určovat hydrodynamické parametry stácející vrstvy; nevýhodou je nemožnost zobecnění těchto výsledků.

Garvin a Kelly [17] řešili přestup tepla do stácející vodní vrstvy po mosazné desce o rozměrech 171 x 762 mm v rozmezí  $500 < Re < 4000$ . Deska byla vyápěna kondensující vodní parou a sklon desky byl měněn mezi  $\varphi = 90^\circ$  a  $\varphi = 90^\circ$ . Stácející vodní vrstva se střední teplotou  $34^\circ\text{C}$

byla vytvářena nástříkem z dýz na plochu desky. Jedná se tedy v tomto případě o nuceně stékající tenkou vrstvu a hodnoty součinitele přestupu tepla budou petrně v důsledku toho větší než při gravitačním stékání. Povrchová teplota desky byla měřena na čtyřech místech termočlánky, což pro stanovení této důležité hodnoty není dosažující.

Wilke [19] se zabýval případem sdílení tepla do stékající vrstvy kapaliny po vnější ploše svislé mosazné trubky průměru Ø 42 mm, délky 2 400 mm. Vrstva byla vytvářena výtokem štěrbinou, Reynoldsovo číslo se pohybovalo v rozmezí  $30 < Re < 3 000$ . Ohřev byl uskutečňován horkou vodou, která proudila proti proudem uvnitř trubky. Střední teplota stékající vrstvy byla  $20^{\circ}\text{C}$ . Povrchová teplota stěny trubky byla zjišťována po její délce 16ti zabudovanými termočlánky. Wilke zjišťoval průběh teploty kapaliny a povrchu trubky a průběh místního součinitele přestupu tepla  $\alpha$ . Výsledky měření ukázaly, že součinitel přestupu tepla  $\alpha$  má po určité délce konstantní hodnotu. Zjištěné hodnoty upravuje Wilke do kriteriálních rovnic

$$\overline{Nu} = 0,00112 \cdot Re^{14/15} \cdot Pr^{0,344}$$

pro  $400 < Re < 800$  a

$$\overline{Nu} = 0,0066 \cdot Re^{14/15} \cdot Pr^{0,344}$$

pro  $Re \geq 800$ .

Výsledky, uváděné autorem, budou vzhledem k poměrně značné délce zkušebního zařízení dávat vysoké hodnoty součinitele přestupu tepla.

IV Nusseltova teorie laminárně stekající  
tenké vrstvy a její porovnání s jinými  
výzkumy

1. Nusseltova teorie

Základem, z kterého vychází výzkumní pracovníci zavíjející se problematikou stekající tenké vrstvy, je Nusseltova teorie laminárního stekání tenké vrstvy kapaliny ve svislé poloze.

Při jejím odvození vycházel Nusselt z těchto předpokladů [1] :

- a) proudění tenké vrstvy je laminární
- b) povrchová plocha vrstvy je hladká
- c) vzhledem k tenké vrstvě kapaliny může být setrvávací síla proti síle tření zanedbána (tato je v rovnováze pouze se silou gravitační).

Za těchto předpokladů je možno psát pro případ stekání po svislé stěně diferenciální rovnici

$$\mu \frac{d^2 w}{dy^2} + \rho g = 0 \quad (1)$$

kde  $w$  je místní rychlosť ve vzdálenosti  $y$  od stěny

$\rho$  měrná hmota kapaliny

$\mu$  dynamická viskozita

$g$  zemské zrychlení

Zavedením okrajových podmínek  $w = 0$  pro  $y = 0$  ( kapalina je u stěny zabrzděna ) a  $dw/dy = 0$  pro  $y = \sigma$  ( je zanedbáno tření mezi povrchovou plochou stékající tenké vrstvy a chráníčujícím prostředím ) se z rovnice (1) získá výraz pro rozložení rychlosti ve vrstvě

$$w_y = -\frac{g}{\mu} \left( y\sigma - \frac{\sigma^2}{2} \right) \quad (2)$$

z něhož vyplývá parabolický průběh rychlosti.

Dosezením kinematické viskozity  $\nu = \mu/g$  do rovnice (2) obdržíme pro rychlosť na vnějším povrchu vrstvy ( pro  $y = \sigma$  ) rovnici

$$w_m = \frac{1}{2} \frac{g}{\nu} \sigma^2 \quad (3)$$

Při střední rychlosti  $\bar{w}$  ve vrstvě o tloušťce  $\sigma$  pak platí výraz

$$\bar{w} = \frac{1}{3} \frac{g}{\nu} \sigma^2 = \frac{2}{3} w_m \quad (4)$$

Je-li, podle dřívějšího, Reynoldsovo číslo vztázené na tloušťku vrstvy  $\sigma$  definováno rovnicí

$$Re = \frac{\bar{w} \sigma}{\nu} \quad (5)$$

pak je možno pro tloušťku stékající tenké vrstvy psát

$$\sigma = \left( \frac{3 \nu^2}{g} \right)^{1/3} Re^{1/3} \quad (6)$$

Řešením rovnic (6), (3) a (4) obdržíme pro rychlosť tečnice

$$w_m = \frac{3}{2} \left( \frac{g v}{3} \right)^{1/3} Re^{2/3} \quad (7)$$

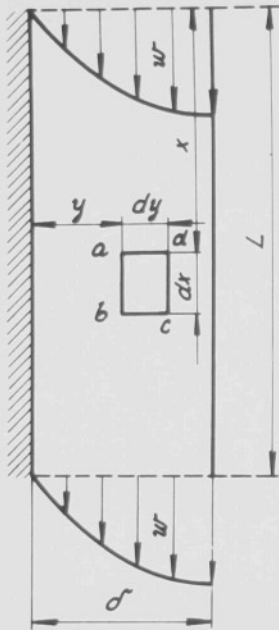
B

$$\bar{w} = \left( \frac{g v}{3} \right)^{1/3} Re^{2/3} \quad (8)$$

Pro přestup tepla do vertikálně stékající tenké vrstvy v případě laminárního proudění stanovil Nusselt řada závislosti za předpokladu, že

- a) povrchová plocha vrstvy je hladká
- b) teplotní profil stékající vrstvy ve vstupním průřezu je konstantní (není vytvořen)
- c) teplota stěny je konstantní
- d) teplo je sdělováno kapalině vedením ve směru kolmém k ploše
- e) tepelné ztráty na vnějším povrchu vrstvy jsou zanedbány

Nusselt vycházel z této úvahy (viz obr. 6). Hmotný element  $a \delta c d$  o velikosti  $dx$  a  $dy$  má v bodě  $a$  teplotu  $t$ , která je funkcí pořadnic  $x$  a  $y$ . Teplota  $t$  bude určena parciální diferenciální rovnicí, kterou získáme teplonou bilancí vytknutého hmotného elementu. Dle Fourierova zákona pro sdílení tepla vedením prochází stranou  $a \delta$  za jednotku času teplo dané rovnicí



Obr. 6

K důvodu Nusseltovy teorie

$$-\lambda \frac{\partial t}{\partial y} dx \quad (9)$$

kde  $\lambda$  je součinitel tepelné vodivosti kapaliny.

Stranou  $cd$  vystupuje množství tepla

$$-\lambda \left( \frac{\partial t}{\partial y} + \frac{\partial^2 t}{\partial y^2} dy \right) dx \quad (10)$$

Odečtením rovnic (10) a (9) obdržíme výraz pro množství tepla, způsobujícího zvýšení teploty elementu

$$\lambda \frac{\partial^2 t}{\partial y^2} dx dy \quad (11)$$

uvažujeme-li, dle předpokladu, pouze sdílení tepla ve směru kolmém k ploše.

Plochou  $ad$  elementu protéká za jednotku času množství kapaliny  $w \rho g dy$ , obsahující teplo

$$cw \rho g t dy \quad (12)$$

kde  $c$  je specifické teplo kapaliny.

Plochou  $bc$  protéká za jednotku času množství kapaliny obsahující teplo

$$wc \rho g \left( t + \frac{\partial t}{\partial x} dx \right) dy \quad (13)$$

Odečtením rovnice (13) s (12) obdržíme pro množství tepla, zvyšující teplotu hmotného elementu výraz

$$w c \varphi g \frac{\partial t}{\partial x} dx dy \quad (14)$$

Je zřejmé, že s ohledem na zákon zachování energie musí platit rovnost výrazů (11) a (14), tedy

$$\lambda \frac{\partial^2 t}{\partial y^2} dx dy = w c \varphi g \frac{\partial t}{\partial x} dx dy \quad (15)$$

je nebo po úpravě

$$c w \varphi g \frac{\partial t}{\partial x} - \lambda \frac{\partial^2 t}{\partial y^2} = 0 \quad (16)$$

Dosazením do této rovnice za  $w$  výraz (2) obdržíme diferenciální rovnici pro průběh teploty ve stékající tenké vrstvě ve tvaru

$$\frac{c \rho^2 g^2}{\mu} \left( \gamma \sigma - \frac{y^2}{2} \right) \frac{\partial t}{\partial x} = \lambda \frac{\partial^2 t}{\partial y^2} \quad (17)$$

Zavedením bezrozměrných veličin

$$z = \frac{y}{\sigma}$$

a

$$s = \frac{\lambda \rho x}{c \rho^2 g^2 \sigma^2}$$

zjednoduší se rovnice (17) na tvar

$$\left( z - \frac{y^2}{2} \right) \frac{\partial t}{\partial s} = \frac{\partial^2 t}{\partial x^2} \quad (18)$$

kde  $Nu_v$  je hodnota Nusseltova čísla charakterizujícího vytvořené proudění, která je hodnotou konstantní a rovná

$$Nu_v = 1,88$$

## 2. Porovnání Nusseltovy teorie s dalšími výzkumy

Rada autorů prováděla výzkumy, mající potvrdit obecnou platnost teorie pro stékání tenké vrstvy. V podstatě bylo třeba zjistit, zda předpoklady, za kterých byla teorie stanovena neovlivní výsledky; zda teorie souhlasí s praktickými měřeními.

Výzkumy prováděné Kirkbridem [4], Pennie a Belangerem [5], Friedmanem a Millerem [6], Duklerem a Bergelinem [3], Brötsem [7] a Brauerem [8] přes zjištěnou skutečnost vlnového charakteru stékání tenké vrstvy jednoznačně potvrdily platnost Nusseltovy teorie stékání tenké vrstvy v oblasti laminarity, tedy až do hodnoty Reynoldsova čísla  $Re = Re_{krit} = 400$  (dle Brauera). V oblasti turbulentního charakteru stékání dobře vyhovuje empirický výraz pro střední tloušťku stékající vrstvy, stanovený Brauerem [8] ve tvaru

$$\sigma = 0,302 \left( \frac{3 \nu^2}{g} \right)^{1/3} Re^{8/15} \quad (24)$$

Naproti tomu výsledky Nusseltovy teorie přestupu tepla do laminárně stékající tenké vrstvy nedávají dobrou shodu s experimentálními výsledky. Vysvětlení nesouhlasu teorie

a experimentu spočívá ve vlnovém charakteru stekání, který přechod tepla zřejmě značně ovlivňuje.

#### V. Sdílení tepla v tenké vrstvě

Z provedeného rozboru vyplývá složitost mechanismu sdílení tepla v tenké vrstvě. Tato otázka dosud nebyla objasněna a nebyla také formulována obecná teorie, která by tento druh sdílení tepla spolehlivě popisovala. Vzhledem k poměrně značnému použití sdílení tepla v tenké vrstvě v technické praxi, je v poslední době věnováno mnoho úsilí ke zvládnutí a popsání tohoto problému.

Z uvedeného přehledu prací zabývajících se problematikou hydrodynamiky a sdílení tepla v tenké vrstvě vyplývá, že dosud nebyla řešena otázka stekání po svislé a šikmé ocelové desce, vytápěné kondensující parou.

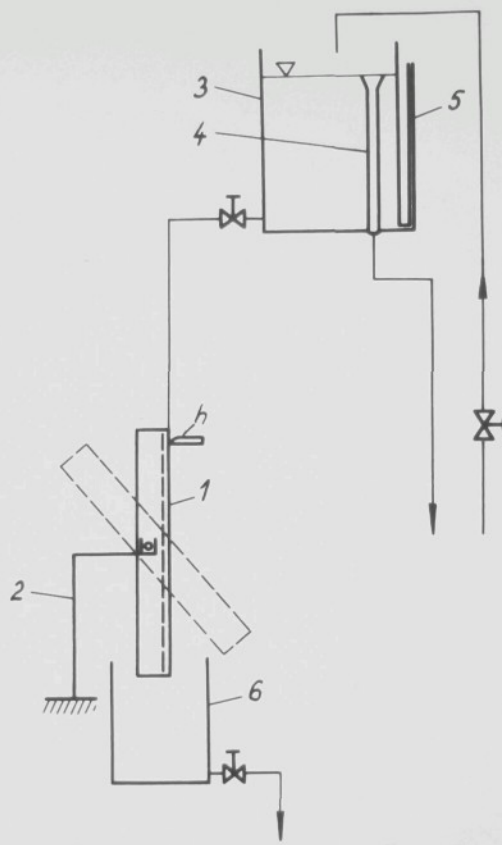
Aby bylo možno složitý pochod sdílení tepla objasnit, je nezbytnou náročností znalost hydrodynamických poměrů při stekání tenké vrstvy po svislé a šikmé ploše. Proto byla řešena nejprve hydrodynamická část problému.

### 1. Hydrodynamika stékající tenké vrstvy

Řešení této otázky spočívá ve stanovení rychlosti a tloušťky stékající tenké vrstvy. Bylo tedy nutno ověřit možnost aplikace dosud známých závislostí i na případ gravitačního stékání tenké vrstvy po svislé a šikmé ocelové desce.

Nevržené zkušební zařízení bylo k tomu účelu vhodně upraveno, jak je zřejmé z obr. 7.

Deska 1 je uložena ve stojanu 2, umožňujícího změnu polohy desky v rozmezí  $\varphi = 0^\circ$  ( vodorovná ) a  $\varphi = 90^\circ$  ( svislá ). Kapalina je na desku přiváděna ze zavřené zásební nádrže 3 ohebnou hadicí a tenká vrstva je vytvářena štěrbinou vytvořenou hradítkem 4. Zásobní nádrž je vybavena přepadem 4 a kontrolním stavoznaky 5. Základní polohy desky  $\varphi = 90^\circ, 60^\circ$  a  $30^\circ$  jsou fixovány pomocí zápedkového mechanismu. Množství stékající kapaliny je určováno objemově vážením, pomocí měrné nádoby 6. Doba, potřebná k naplnění odměřeného objemu byla zjištována stopkami. Před vlastním měřením byla proměřena rovinost povrchové plochy desky. Výsledky měření znázorňuje obr. 8a a 8b. V obr. 8a jsou patrný spojnice bodů se stejnou odchylkou od roviny vstupního průřezu desky ( isostaty ). Plnou čarou jsou spojeny body se zápornou odchylkou, čárkovaně s odchylkou kladnou. Obr. 8b znázorňuje tvar povrchu desky ve třech povrchových čarách A, B, C, které jsou vyznačeny v obr. 8a. Je zřejmé, že deska je mírně prohnuta, pravdě-



Obr. 7

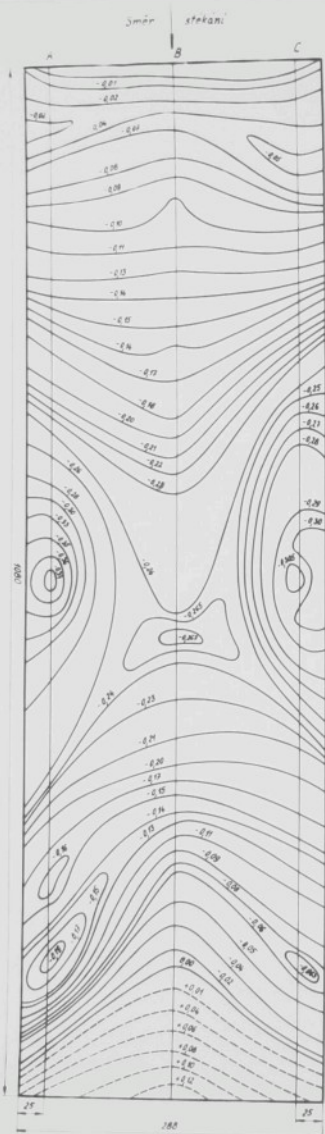
Schema úpravy zkušebního zařízení pro  
hydrodynamické zkoušky

1 - zkušební deska ; 2 - stojan

3 - zásobní nádrž; 4 - přepad

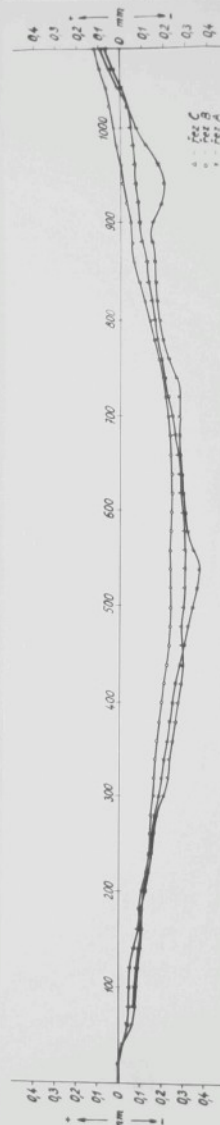
5 - kontrolní stavoznak;

6 - měrná nádoba; h - hradítko



Obr. 8 a

Rovinnost zkušební desky  
průběh isostat



Obr. 8 b

Tvar povrchu desky v  
povrchových čarách A,B,C

podobně následkem vnitřního pnutí. Toto prohnutí však není velké a vzhledem k rozměrům desky přijatelné. Technologicky není možno vyrobit zkoušební desku s absolutně rovnou povrchovou plochou.

#### a) Visuální pozorování stékající tenké vrstvy

Před zahájením vlastních zkoušek i při zkouškách bylo provedeno visuální pozorování charakteru stékání tenké vodní vrstvy. Pozorování bylo uskutečněno v rozmezí Reynoldsova čísla  $Re = 40$  až  $2\ 000$ , při sklonu desky  $\varphi = 90^\circ$ ,  $60^\circ$  a  $30^\circ$  a při teplotách kapaliny v rozmezí  $10$  až  $80^\circ C$ . Charakter stékání tenké vrstvy pro různé poměry je fotograficky zachycen na obr. 9 a, b, c, d, e, f, g, h.

V případě svislé desky má stékající tenká vrstva asi do vzdálenosti  $100\ mm$  od výtokové štěrbiny hladkou povrchovou plochu. Bylo zjištěno, že délka vrstvy s hladkou plochou se jen nepatrně mění se zvětšujícím se Reynoldsovým číslem. Po oblasti s hladkou povrchovou plochou vrstvy dochází ke vzniku vln. Tyto vznikají zcela nepravidelně a vždy jedna větší vlna před sebou " tlačí " dvě až tři vlny menší ( viz detailní záběr obr. 9 h ). Rychlosť pohybu jednotlivých vln je různá, takže po délce desky dochází k jejich vzájemnému překrývání, splývání a vzniku nových vln. Charakter vlnění i frekvence vln je nepravidelný. Toto je dobře patrné na fotografiích v obr. 9, na nichž je zachyceno stékání tenké vrstvy při různých poměrech a sklonu desky.



Obr. 9 a

Charakter stékání vrstvy

$$\varphi = 90^\circ, Re = 38, \sigma'' = 0,265 \text{ mm}$$



Obr. 9 b

Charakter stékání vrstvy

$$\varphi = 90^\circ, Re = 77, \sigma'' = 0,341 \text{ mm}$$



Obr. 9 c

Charakter stékání vrstvy

$$\varphi = 90^\circ, Re = 215, \sigma = 0,478 \text{ mm}$$



Obr. 9 d

Charakter stékání vrstvy

$$\varphi = 60^\circ, Re = 117, \sigma = 0,412 \text{ mm}$$



Obr. 9 e

Charakter stékání vrstvy

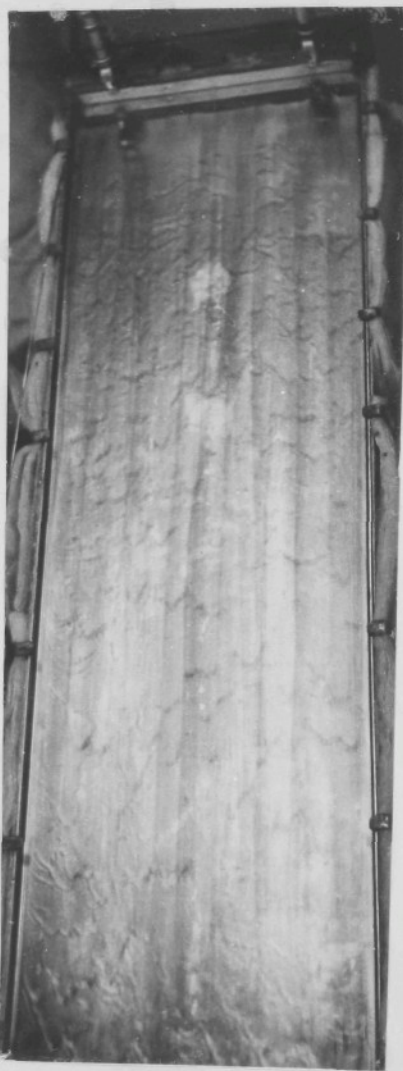
$$\varphi = 60^\circ, Re = 192, \sigma = 0,485 \text{ mm}$$



Obr. 9 f

Charakter stékání vrstvy

$$\varphi = 30^\circ, Re = 92, \sigma = 0,455 \text{ mm}$$



Obr. 9 g

Charakter stékání vrstvy

$\varphi = 30^\circ$ ,  $Re = 240$ ,  $\sigma = 0,623$  mm

Obr. 9 h

Detailní záběr vlnění

na desce

S rostoucím Reynoldsovým číslem se povrchová plocha vrstvy více zdrsnuje. Tento vlnový obraz zůstává až do hodnot Reynoldsova čísla  $Re = 800$ . S dále se zvětšující jeho hodnotou se frekvence vln zvětšuje současně se zmenšující se amplitudou, takže dochází k jakémusi " uklidnění " povrchové plochy stékající vrstvy.

Vliv teploty kapaliny se projevuje tím, že od teploty kapaliny asi  $50^{\circ}\text{C}$  nastává intenzivnější vypeřování do okolí, které se zvětšuje se zvětšující se teplotou a závisí ovšem na relativní vlhkosti okolí.

Změna sklonu desky ovlivňuje charakter stékání vrstvy tím způsobem, že se změňujícím se úhlem sklonu desky  $\varphi$  se zmenšuje délka vrstvy s hladkou povrchovou plochou, která při sklonu desky  $\varphi = 30^{\circ}$  dosahuje délky  $\sim 50$  mm. Rovněž proces překrývání a splývání vln je méně intenzivní a stékání má klidnější charakter.

b) Stanovení střední tloušťky stékající tenké vrstvy

c) Vlastní měření

Výzkumy v oblasti hydrodynamiky jednoznačně prokázaly vlnový charakter stékání tenké vrstvy. Tím ovšem vznikla otázka stanovení střední tloušťky stékající vrstvy. Tabulka TAB. 1 ukazuje přehledně práce, zabývající se touto problematikou, v souvislosti s typem použitého zkušebního zařízení a jeho materiálu, použité kapaliny a způsobem měření střední tloušťky tenké vrstvy.

Rok	Autor	Zkuš. zeříz.	$\varnothing$ šířka mm	Délka mm	Mate- riál	Kapa- lina $^{\circ}\text{C}$	Měření tlouš- ťky	Re
1934	Kirkbride [5]	svislá trubka vrstva vně		760		olej	Mikrom. šroub	0,04- 2 000
1941	Friedman Miller [6]	svislá trubka vrstva uvnitř	25,4 15,9	1270	Pyrex	olej voda $25^{\circ}\text{C}$	z množ- ství	0,02 - 115
1952	Pennie [5]	svislá trubka vrstva uvnitř	12,8		měď	voda	Mikrom. šroub	13 - 3 250
1952	Dukler [3]	svislá deska	614	2040	mosaz	voda	měření kapaci- ty	120 - 750
1954	Brötz [7]	svislá trubka vrstva uvnitř	14,8 20,0 40,0	300 500 1000	sklo	voda olej $15 - 60^{\circ}\text{C}$	z množ- ství	100 - 4 300
1956	Breuer [8]	svislá trubka vrstva vně	45,0	1800	mosaz	voda $27^{\circ}\text{C}$	stín. fotogr.	20 - 1670
1960	Feind [11]	svislá trubka vrstva uvnitř	19,9 49,8	2800	mosaz	voda $17^{\circ}\text{C}$	z množ- ství	20 - 2000

TAB. 1

Přehled výsledků zkoušek se stékající tenkou vrstvou

Provedené výzkumy prokázaly za daných podmínek platnost rovnice (6) pro oblast laminárního stékání a rovnice (24) pro oblast turbulence pro tloušťku stékající tenké vrstvy.

Pro experimentální ověření stanovené střední tloušťky stékající vodní tenké vrstvy po svislé a šikmé ocelové desce na zkušebním zařízení bylo použito metody, vyplývající z následující úvahy.

Na obr. 10 je schematicky znázorněna tenká vrstva. Nejvyšší amplitudě vlny odpovídá maximální tloušťka vrstvy  $\tilde{\sigma}_{max}$ ,  $\tilde{\sigma}_{min}$  je nejméně tzv. "zbytková" tloušťka vrstvy a  $\bar{\sigma}$  je střední tloušťka stékající tenké vrstvy. Je pravděpodobné, že nejméně se budou při stékání vrstvy vyskytovat minimální a maximální hodnoty tloušťek, zatímco nejčetnější budou hodnoty tloušťek v okolí střední tloušťky vrstvy  $\bar{\sigma}$ . Bude-li v čase registrována četnost výskytu tloušťek v rozmezí  $\tilde{\sigma}_{min} \rightarrow \tilde{\sigma}_{max}$  musí naměřené hodnoty tvořit Gaussovou křivku četnosti. Maximum křivky znázorněné v souřadnicích četnost -  $\tilde{\sigma}(y)$  určuje střední tloušťku vrstvy  $\bar{\sigma}$  (viz obr. 11).

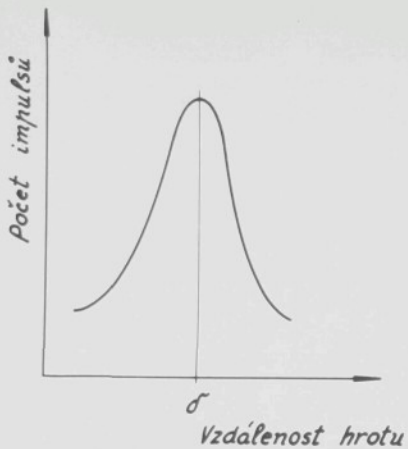


Obr. 10

Schematické znázornění tloušťek stékající vrstvy

K tomuto účelu bylo vyvinuto měřící zařízení, znázorněné na obr. 12 a obr. 13. Vlastní měřící zařízení

( obr. 12 ) pozůstává z vodičního systému 1, k němuž je připevněn mikrometrický šroub 2 s platinovou jehlou 3.

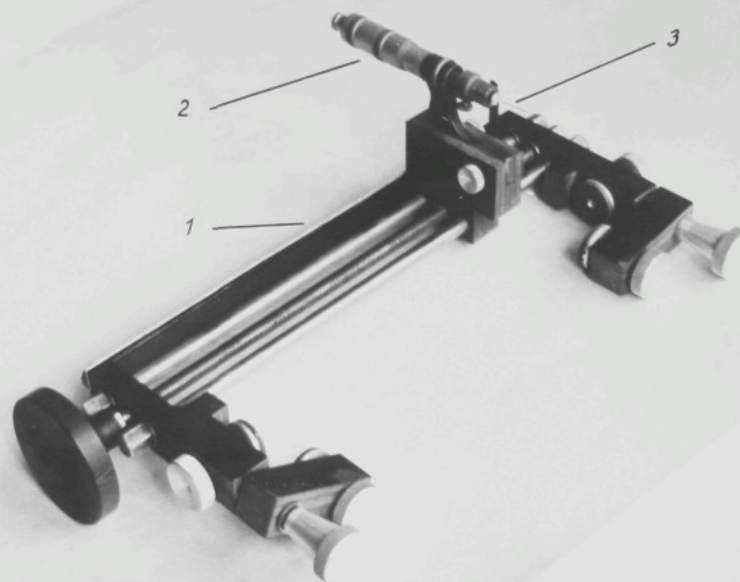
Obr. 11  
Měření střední tloušťky vrstvy

Bylo možno zjistit z údaje elektrických stupňků  $S$ ,

číslo řadící střední tloušťku stíky, fáz tenké vrstvy bylo provedeno pro vodu při různých Reynoldsovych číselach a při roletách desky  $\varphi = 90^\circ, 60^\circ$  a  $30^\circ$ . Voda byla odstraňována z vodovodního řádu. Pro každý režim stíkání se měřilo střední tloušťky ve 24 lodičkách desky.

Na počtu měřených byl na mikrometrku odečten údaj, když se hrot jehly prvně dotýkal povrchu desky, který byl nulovou hodnotou. Tak byl hrot jehly vzdálován od povrchu desky tak dlejně, až elektrické stupně zaznamenaly přerušovaný počet, což svědčilo o tom, že hrot je v oblasti vlnění. Dále byl hrot přestavován o hod. tu 0,04 resp. 0,02 mm a v každé poloze byl po dobu 120 vteřin zaznamenáván počet im-

Vodící systém umožňuje přestavování jehly po šířce desky. Její s vlastní zkoušební deskou tvoří elektrický obvod, k jehož propojení dojde v okamžiku, kdy stekající kapalina po desce se dotkne hrotu jehly. Na obr. 13 je uvedeno schéma ovládacího obvodu, umožňujícího registraci počtu propojení obvodu deska-hrot stekající vrstvou. Počet propojení byl odečítán na počítací impulů  $\check{c}$  a určen doby ponovení hrotu jehly v kapalině.

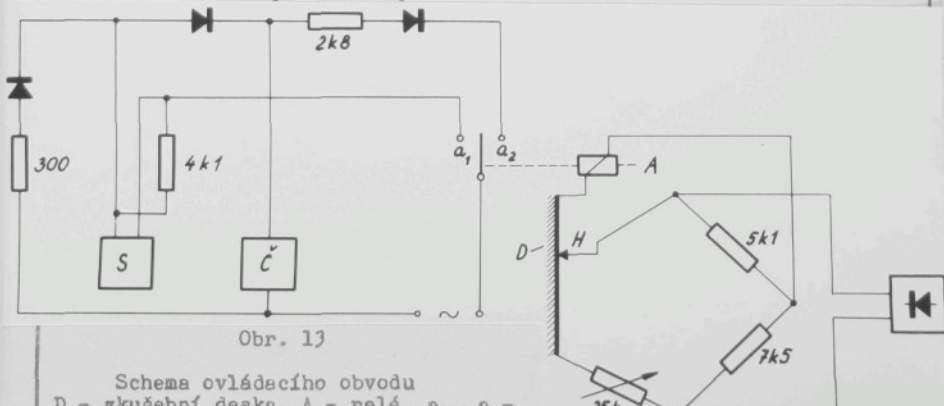


Obr. 12

Zařízení pro měření tloušťky stékající tenké vrstvy

1 - vodící systém; 2 - mikrometrický šroub;

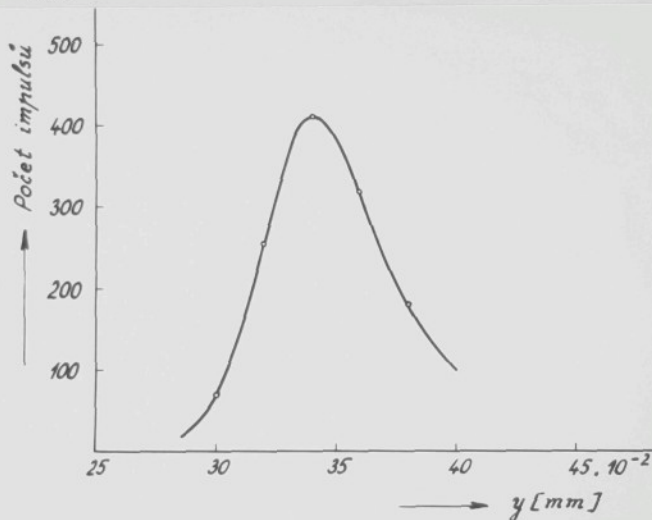
3 - platinová jehla



Obr. 13

Schema ovládacího obvodu  
D - zkušební deska, A - relé,  $a_1$ ,  $a_2$  -  
- spínací kontakty, S - stopky, č - čítač impulsů, H - platinová jehla

pulsů. Po skončení odečítání byl hrot přestaven na delší měřené místo desky a měření bylo prováděno stejným způsobem.

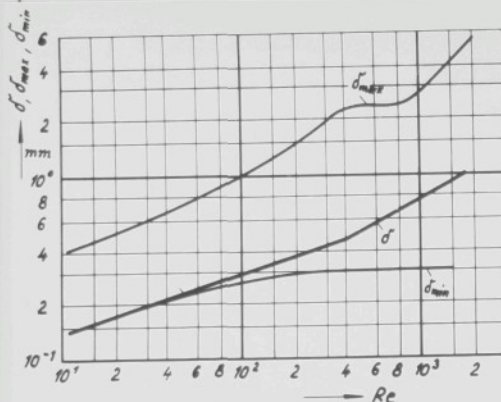


Obr. 14

Měření střední tloušťky vrstvy v jednom bodě desky

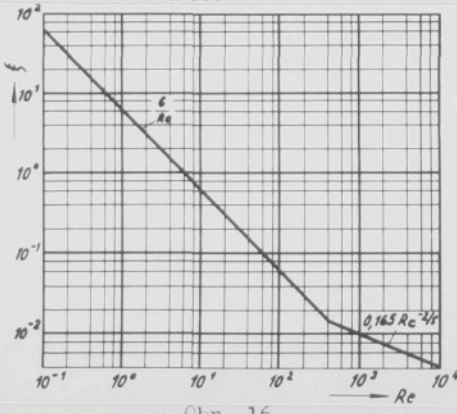
Uvedená metoda měření střední tloušťky stékající tenké vrstvy vyhovuje v případě vlnového charakteru stékání. V krátké délce hladké povrchové plochy vrstvy může dojít vlivem kapilárních sil ke zkreslení měřených hodnot a použití tohoto způsobu měření není vhodné.

Jako materiálu pro jehlu bylo použito platiny z toho důvodu, aby nedocházelo k opakování hrotu jehly. Hrot jehly byl tence vybroušen, aby se co nejvíce vymezil vliv "nárušku" na jehle vlivem jejího odporu při obtékání kapalinou.



Obr. 15

Závislost střední tloušťky vrstvy  $\sigma$ ,  $\sigma_{max}$  a  $\sigma_{min}$  na Reynoldsově čísle podle Brauera [8] pro vevsičou trubku



Obr. 16

Závislost součinitele hydraulického odporu  $f$  na Reynoldsově čísle

Protékající množství vody bylo určováno vážením, teplota vody velmi málo kolísala a její střední hodnota byla  $10^0$  °C. Na obr. 14 jsou znázorněny výsledky měření tloušťky vrstvy v jednom z zmíněných míst. Náměřené hodnoty uplatňují předchozidny průběh. Křivka proložená body tvoří Gaussovu křivku. Výsledky

měření jsou pro různé poměry a skleněnou desku uvedeny v tabulce 2-B. I s přehledně na obr. 17.

Brauer [8] se podrobne zabýval měřením střední tloušťky stávající tenké vrstvy po vnitři mosazné trubce v zjištěném i maximální tloušťce vrstvy  $\sigma_{max}$  a tak "zbytkovou" tloušťku  $\sigma_{min}$  (viz obr. 10). Výsledek jeho měření znázorňuje obr. 15, kde ve dvojnásobných logaritmických souřadnicích je vynesena závislost  $\sigma_{max}$ ,  $\sigma$  a  $\sigma_{min}$  na Reynoldsově čísle. Závislost střední tloušťky

vrstvy  $\sigma$  na Reynoldsově čísle je dána přímkou, která se při hodnotě  $Re = Re_{krit} = 400$  lomí a má strmější průběh. Část přímky, odpovídající laminérní oblasti, splňuje průběh dle rovnice (6) odvozené Nusseltem. Část přímky ležící v oblasti turbulence, odpovídá empirické rovnici (24). Změna  $\sigma_{min}$  s rostoucím Reynoldsovým číslem není velká, zatímco  $\sigma_{max}$  se s rostoucím Reynoldsovým číslem značně mění. Brauerovými výzkumy bylo dále zjištěno, že střední tloušťka vrstvy  $\sigma$  zůstává konstantní.

Výsledky měření byly dále zobecněny, porovnány s výsledky jiných autorů a zpracovány do bezrozměrných argumentů. Obr. 16 znázorňuje toto zobecnění platné pro libovolnou kapalinu. Je na něm vynesena ve dvojnásobných logaritmických souřadnicích závislost součinitele hydraulického odporu  $f$  na Reynoldsově čísle, kde  $f$  je definován rovnicí

$$\Delta p = f \frac{L}{\sigma} \rho \frac{\bar{w}^2}{2} \quad (25)$$

kde  $\Delta p$  je tlakový spád

$L$  délka desky nebo trubky

Tlakový spád  $\Delta p$  je dán výrazem

$$\Delta p = H \rho g \quad (26)$$

kde  $H$  je výška.

Pro oblast  $Re < Re_{krit} = 400$  je součinitel hydraulického odporu  $f$  dán rovnicí ( viz obr. 16 )

$$f = \frac{6}{Re} \quad (27)$$

a pro  $Re > Re_{krit}$

$$\zeta = 0,165 \frac{-2/5}{Re} \quad (28)$$

Až dosud uvedené výrazy platí pro případ svislého stékání tenké vrstvy, tj. pro úhel trubky resp. desky s vodorovnou osou  $\varphi = 90^\circ$ .

V případě úhlu sklonu menšího než  $90^\circ$ , obdržíme řešením rovnic (25) a (26) výraz pro součinitele hydraulického odporu  $\zeta$  ve tvaru

$$\zeta = \frac{2q}{\bar{w}^2} \sigma \sin \varphi \quad (29)$$

kde  $\varphi$  je úhel sklonu desky s vodorovnou osou.

Pro  $\varphi = 90^\circ$  přejde rovnice (29) v rovnici (25).

Střední tloušťka stékající tenké vrstvy pro libovolný sklon desky je pak dána výrazem

$$\sigma = \left( \frac{3 \nu^2}{g \sin \varphi} \right)^{1/3} Re^{1/3} \quad (30)$$

pro  $Re < Re_{krit}$  a

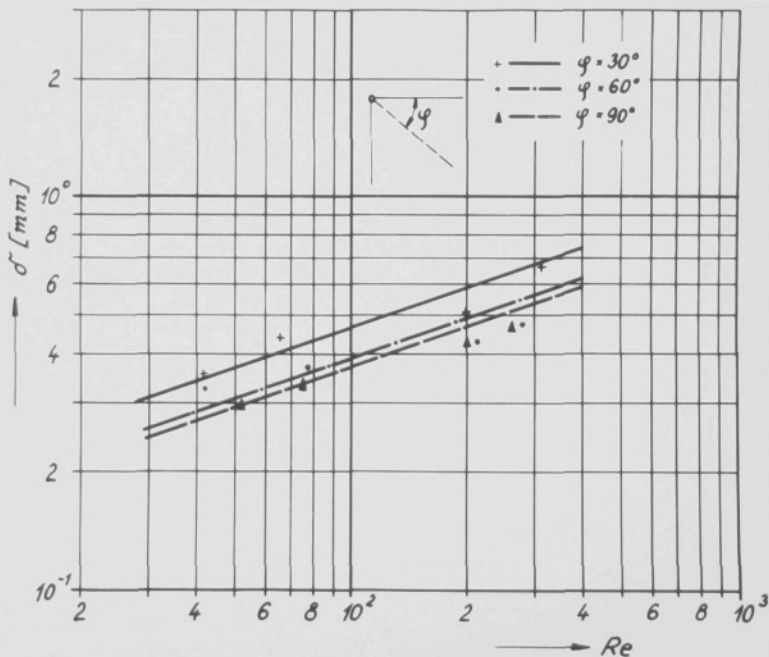
$$\sigma = 0,302 \left( \frac{3 \nu^2}{g \sin \varphi} \right)^{1/3} Re^{8/15} \quad (31)$$

pro  $Re > Re_{krit}$ .

### $\beta)$ Zhodnocení výsledků měření

Měření byla prováděna s vodou pro různá Reynoldsova čísla při úhlech sklonu desky  $\varphi = 90^\circ, 60^\circ$  a  $30^\circ$ .

Naměřené hodnoty  $\delta'$  jsou uvedeny v tabulce TAB. I. V obr. 17 jsou výsledky měření znázorněny ve dvojnásobných logaritmických souřadnicích v závislosti na Reynoldsově čísle a úhlu sklonu desky. Naměřené hodnoty jsou porovnány s průběhem dle rovnice (30). Maximální odchylka naměřených hodnot od tohoto průběhu je  $\pm 15\%$ . Vzniklý rozptyl lze vysvětlit statistickým způsobem měření.



Obr. 17

Naměřené hodnoty tloušťky vrstvy  $\delta'$  při různých poměrech a sklonu desky v závislosti na Reynoldsově čísle; porovnání s průběhem dle rovnice (30)

Měření potvrdila platnost a použitelnost rovnice (30) pro případ stékání kapaliny po svislé a šikmé desce z nerezavějící oceli v oblasti laminárního stékání, tedy v oblasti  $Re < Re_{krit} = 400$ . Jelikož platnost rovnice (31) byla prokázána Brauerem [8] a Feindem [11] pro případ stékání po svislé trubce v dané oblasti spolu s platností rovnice (30), není důvodu, aby rovnice (31) neurčovala střední tloušťku stékající tenké vrstvy po svislé a šikmé desce.

Pro oblast proudění  $Re < Re_{krit}$  je tedy střední tloušťka vrstvy pro libovolný sklon plochy dána výrazem

$$\sigma = \left( \frac{3 \nu^2}{g \sin \varphi} \right)^{1/3} Re^{-1/3}$$

a pro  $Re > Re_{krit}$

$$\sigma = 0,302 \left( \frac{3 \nu^2}{g \sin \varphi} \right)^{1/3} Re^{8/15}$$

c) Stanovení střední rychlosti stékající tenké vrstvy

$\alpha)$  Vlastní měření

Pro stanovení střední rychlosti stékající tenké vrstvy  $\bar{w}$  bylo použito nepřímého způsobu měření. Byla měřena rychlosť stékající tenké vrstvy na povrchu  $w_m$ , z níž je možno pomocí rovnice (4) střední rychlosť  $\bar{w}$  určit.

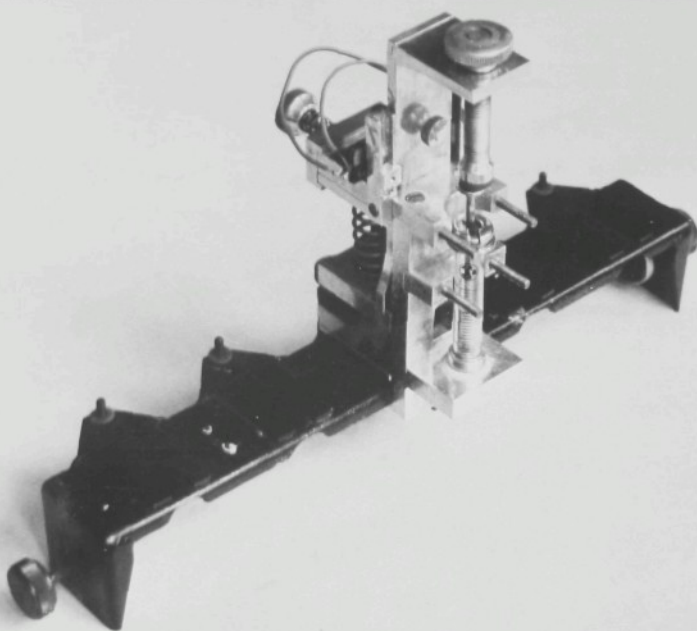
Pro měření povrchové rychlosti stékající tenké vrstvy  $\bar{w}$  byla použita Allenova metoda "solného mráčku", popsaná Teysslerem v [15]. Princip této metody spočívá v tom, že do proudící kapaliny se vstříkne vodivý roztok a pomocí

sond umístěných v určité vzdálenosti se zjišťuje doba průchodu vodivého roztoku mezi sondami. Průchod vodivého roztočku místem sondy se projeví zvýšením elektrické vodivosti. Ze známé doby průchodu a vzdálenosti sond je možno určit střední rychlosť proudu.

Pro aplikaci této metody na stékání tenké vrstvy bylo nutno splnit několik podmínek :

1. vstříknutí vodivého roztočku musí být provedeno v co nejkratší době, aby se vodivý roztok ve stékající vrstvě nerozptyloval
2. vodivý roztok se nesmí v kapalině rozptylovat
3. po vstříknutí nesmí roztok ulpít na povrchu desky
4. zvýšení elektrické vodivosti musí být značné
5. k dosažení dostatečného zvýšení vodivosti musí postačit malé množství vodivého roztočku, aby se neovlivnil místní průtočný objem kapaliny

Ze zkoušených vodivých roztočků se jako nejvhodnější ukázal nasycený roztok jodidu draselného KJ. Pro splnění podmínky ad 1. bylo navrženo a zhotoveno vstříkovací zařízení, jehož provedení je zřejmé z obr. 18. Zařízení sestává z injekční stříkačky a z pružinového mechanismu, který po uvolnění úderníkem vrátí píst stříkačky do spodní polohy. Tím je vodivý roztok vystříkán z injekční stříkačky prakticky okamžitě. Podmínka ad 5. byla respektována tím, že množství vstříkovaného vodivého roztočku bylo  $0,1 \text{ cm}^3$ .

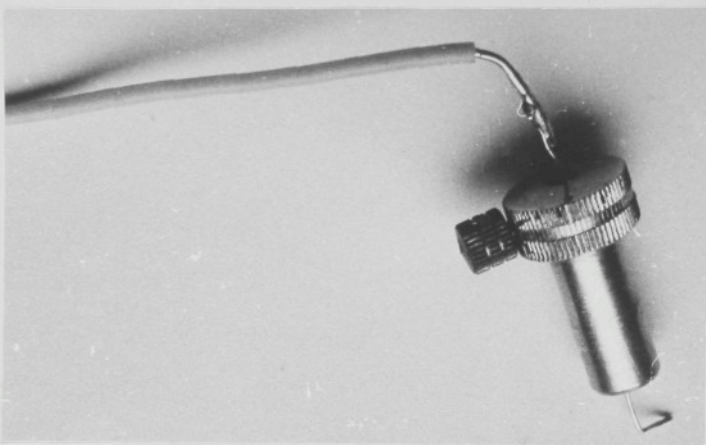


Obr. 18

Zarizení pro vstřikování vodivého roztoku

Snímec sondy, jejichž provedení ukazuje obr. 19, byly zhotoveny z platinu a jejich poloha vůči desce byla fixována držáky z plexiskla.

K registraci zvýšení vodivosti a doby potřebné k průchodu vodivého roztoku mezi sondami bylo použito oscilografických záznamů, získaných pomocí snyčkového oscilografu zn. RFT, osazeného snyčkami typu MKS - 5. Snyčky byly chráněny před poškozením, které by mohlo nastat přímým propojením obvodu případným dotykem sondy a desky při manipulaci tím, že do obvodu byl vestavěn ochranný odpor.



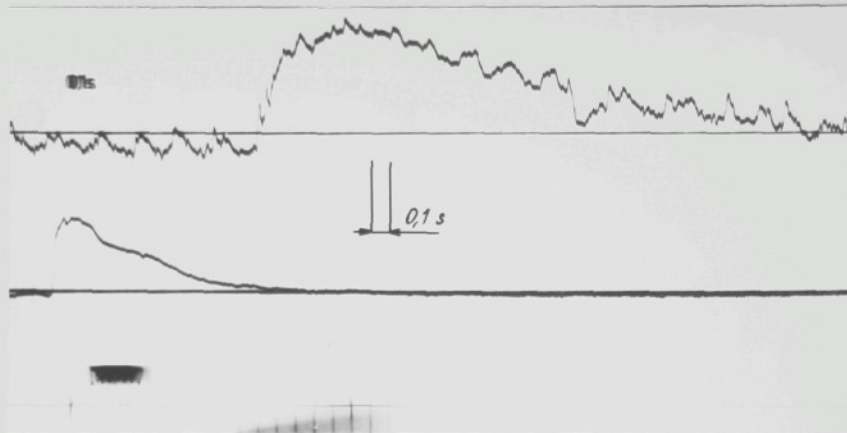
Obr. 19

## Snímací sonda

Měření povrchové rychlosti  $w_m$  stékající vodní tenké vrstvy bylo provedeno pro různá Reynoldsova čísla a pro úhel sklonu desky  $\varphi = 90^\circ, 60^\circ$  a  $30^\circ$  v pěti bodech desky a měření byla opakována. Sondy byly nastaveny tak, aby se svojí spodní ploškou právě dotýkaly povrchu stékající vrstvy.

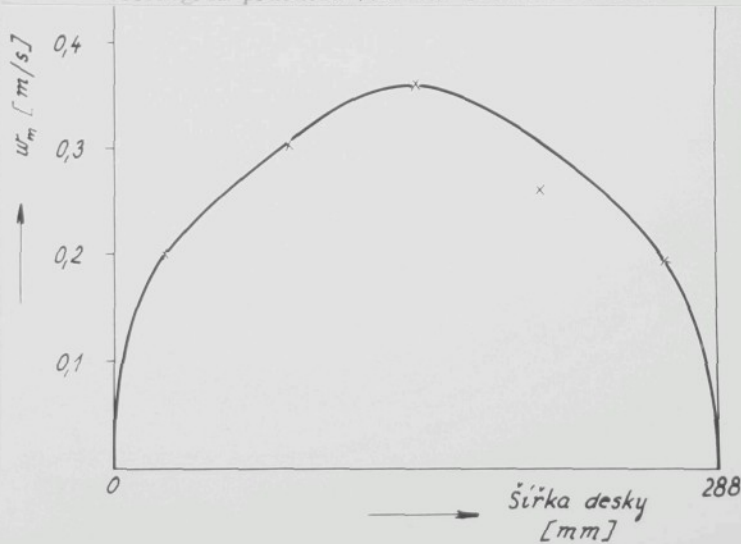
Příklad oscilografického záznamu pro jeden režim stékání a jeden bod je na obr. 20. Je na něm zřejmý průběh záznamu smyček a zvýšení vodivosti v době průchodu vodivého roztočku sondou.

Z pěti hodnot povrchových rychlostí byl získán rychlostní profil na desce, jehož planimetrováním byla určena střední povrchová rychlosť  $w_m$  na desce. Rychlostní profil pro jeden režim stékání je uveden na obr. 21. Z naměřených hodnot povrchové rychlosti byla určena pomocí rovnice (4) střední rychlosť  $\bar{w}$ . Naměřené hodnoty uvádí tabulka TAB.II.



Obr. 20

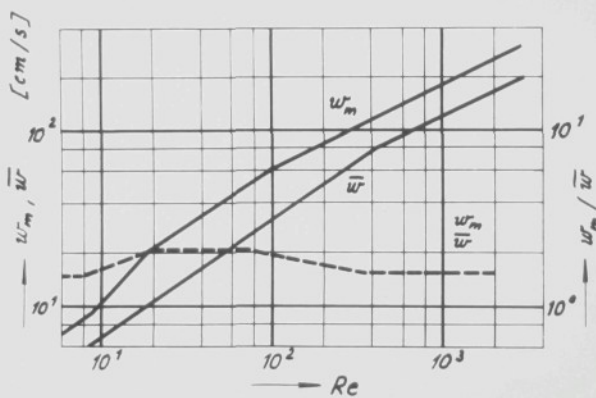
Oscilogram průchodu vodivého roztoku na desce



Obr. 21

Rychlostní profil na desce  $\varphi = 30^\circ$ ,  $Re = 41,46$ ,  $\sigma = 0,358$  mm

Výsledky měření rychlosti stékající tenké vrstvy provedené Brauerem [8] potvrdily platnost Nusseltovy teorie a tedy i rovnice (8) důvozené Nusselem pro případ stékání tenké vrstvy po svislé ploše i pro případ stékání po svislé trubce v laminární oblasti. Výsledky měření znázorňuje obr. 22, kde je vynesen závislost povrchové rychlosti  $w_m$ , střední rychlosti  $\bar{w}$  a poměru  $w_m/\bar{w}$  na Reynoldsové čísle. Z obrázku je patrný přímkový průběh závislosti rychlosti  $\bar{w}$ .



Obr. 22

Závislost střední rychlosti  $\bar{w}$ , povrchové rychlosti  $w_m$  a poměru  $w_m/\bar{w}$  na Reynoldsově čísle dle Brauera pro svislou trubku

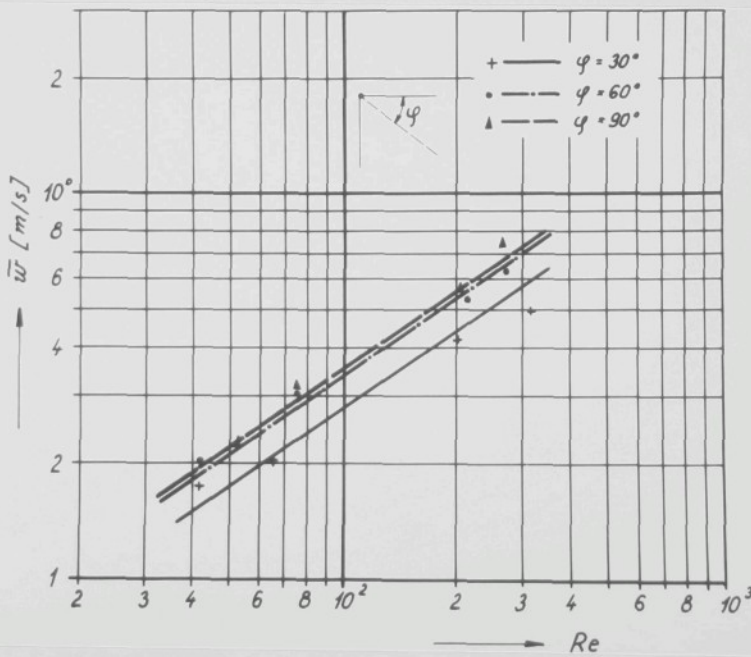
### β) Zhodnocení výsledků měření

Střední rychlosť stékající tenké vrstvy byla zjišťována popsaným způsobem pro vodní tenkou vrstvu pro různá Reynoldsova čísla a pro úhel sklonu desky  $\varphi = 90^\circ, 60^\circ$  a  $30^\circ$ .

Střední teplota vody byla opět  $10^{\circ}\text{C}$ . Naměřené hodnoty, uvedené v tabulce TAB.II jsou vyneseny v obr. 23 ve dvojdílných logaritmických souřadnicích v závislosti na Reynoldsově čísle. Zjištěné hodnoty jsou porovnány s hodnotami dle rovnice pro střední rychlosť  $\bar{w}$  platné pro svíslou a šikmou desku, kterou obdržíme řešením rovnic (8), (25) a (26)

$$\bar{w} = \left( \frac{g y}{3} \sin \varphi \right)^{1/3} Re^{2/3} \quad (32)$$

pro oblast  $Re < Re_{krit} = 400$ .  $\varphi$  je opět úhel sklonu desky.



Obr. 23

Porovnání naměřených hodnot rychlosti  $\bar{w}$  při různých poměrech a sklonech desky s průběhem dle rovnice (32)

Odchyly naměřených hodnot středních rychlostí od hodnot udávaných rovnicií (32) jsou  $\pm 10\%$ . Je tedy možno této rovnice použít pro výpočet rychlosti stékající tenké vrstvy kapaliny po svislé a šikmě ploše.

Určení střední rychlosti kapaliny je na rozdíl od otázky určení střední tloušťky vrstvy druhohodým problémem. Je to z toho důvodu, že Reynoldsovo číslo, obsahující jako jednu z veličin střední rychlosť vrstvy  $\bar{w}$ , je úměrné protékajícímu množství kapaliny a proto k určení hydrodynamických poměrů není znalost rychlosti stékání bezpodmínečně nutná.

## 2. Přestup tepla ve stékající tenké vrstvě

### a) Definice a způsob výpočtu

Na základě znalosti a popsání hydrodynamických poměrů ve stékající tenké vrstvě po svislé a šikmě ploše bylo možno přistoupit k objasnění mechanismu sdílení tepla. Na základě experimentálních zkoušek bude sestavena obecná kriteriální rovnice, popisující tento druh sdílení tepla. Předpokladem tedy je stanovit a definovat součinitel přestupu tepla.

Pro množství tepla  $dQ$  sdělovaného stékající tenké vrstvě kapaliny plošným elementem  $dF$  vytápěné desky o ploše  $F$  platí Nusseltův vztah

$$dQ = \alpha (t_s - t_k) dF \quad (33)$$

kde  $\alpha$  je místní a okamžitý součinitel přestupu tepla

$t_s$  teplota stěny uvažovaného plošného elementu

$t_k$  střední teplota kapaliny v uvažovaném plošném elementu

Střední teplota kapaliny  $t_k$  je definována rovnicí

$$t_k = \frac{\int_0^f t w \rho c dt}{\int_0^f w \rho c dt} \quad (34)$$

kde  $t$  je místní teplota kapaliny ve vzdálenosti  $y$  od stěny

$c$  měrné teplo kapaliny

$f$  průtočný průřez stékající tenké vrstvy

Takto definovanou střední teplotu kapaliny  $t_k$  je možno určit měřením teploty kapaliny po smíšení ve směšovacím zařízení.

Místní součinitel přestupu tepla nelze ovšem vyčíslit a je třeba definovat střední součinitel přestupu tepla na základě měřeného množství sděleného tepla pro celou plochu desky  $F$ . Střední součinitel přestupu tepla  $\bar{\alpha}$  je možno pomocí rovnice (34) definovat ve tvaru

$$\bar{\alpha} = \frac{Q}{F(t_s - t_k)} \quad (35)$$

kde výraz  $\overline{t_s - t_k}$  je střední teplotní rozdíl mezi teplotou stěny a teplotou kapaliny podél teplosměnné plochy, definovaný rovnicí

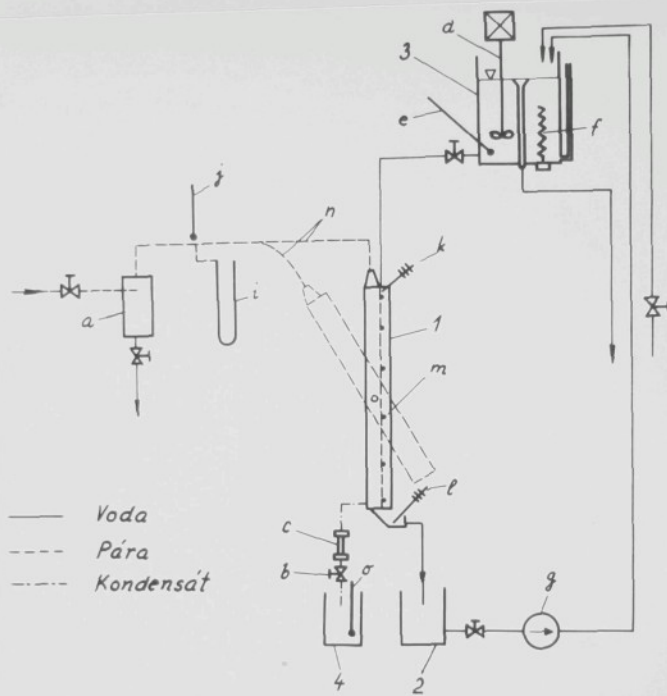
$$\frac{t_s - t_k}{\bar{\alpha}} = \frac{1}{x} \int_0^x (t_s - t_k) dx \quad (36)$$

Aby bylo možno stanovit potřebné hodnoty k určení středního součinitele přestupu tepla  $\bar{\alpha}$ , bylo nutno zkušební zařízení vhodně upravit. Schematické uspořádání zařízení je na obr. 24, celkový pohled na zařízení na obr. 25.

Zkušební topná deska 1 byla upravena tak, že její část neomývaná kapalinou byla tepelně isolována. K isolaci bylo použito skloválnitých desek zn. " Fibrex " o tloušťce 10 mm, jejichž součinitel tepelné vodivosti je velmi nízký. Ke zkušební desce byla isolace přilepena epoxydovou pryskyřicí a přidržena ocelovými pásky.

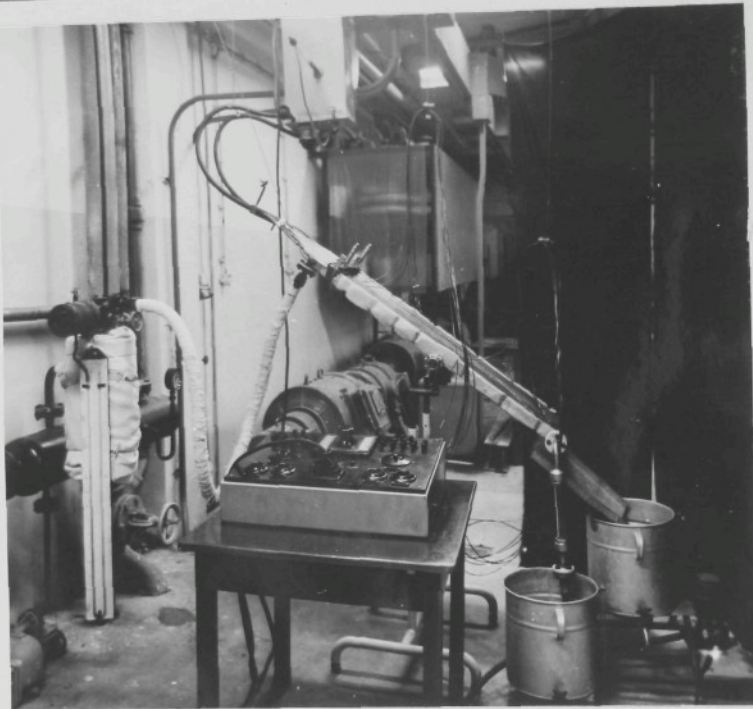
Přívod topné páry od rozvadče k desce byl proveden přes cyklonový odlučovač 2, zachycující případnou vlhkost obsaženou v páře. Spojení odlučovače a desky muselo umožňovat změnu sklonu desky. Bylo proto ke spojení použito ohebné tombakové hadice. K zamezení tepelných ztrát do okolí byl jak odlučovač, tak tombaková hadice isolována asbestovou tkaninou.

Odvod vzniklého kondensátu z topné páry byl proveden přes regulační jehlový ventil 3, před který byl zařazen stavoznak 4. Účelem tohoto uspořádání bylo zabránit zatopení topného prostoru kondensátem. Pomocí stavoznaku se udržovala hladina kondensátu jehlovým ventilem na konstantní výši, která byla nižší než spodní bod zkušební topné desky. Množství vzniklého kondensátu bylo zjištováno vážením.



Obr. 24

Schema úpravy zařízení pro tepelná měření  
1 - zkušební deska; 2,4 - odměrná nádoba;  
3 - zásobní nádrž; a - cyklonový odlučovač;  
b - jehlový ventil; c - stavoznak;  
d - míchadlo; e - regulační teploměr;  
f - elektrické topné těleso; g - oběhové  
čerpadlo; i - rtuťový U-manometr; j - teploměr;  
k,l - termočlánky pro měření vstupní a výstupní  
teploty kapaliny; m - termočlánky pro měření  
povrchové teploty desky; n - ohebná tombaková  
hadice



Obr. 25

Celkový pohled na zkušební zařízení

Kondensát byl zachycován odměrnou nádobou. Teplota kondensátu byla měřena rtuťovým teploměrem.

Kapalina byla na desku přiváděna ze zavěšené zásobní nádrže 3, vybavené míchadlem  $\alpha$ . Teplota kapaliny v nádrži byla udržována na konstantní výši kontaktním teploměrem  $\epsilon$  zn. " Vertex ", ovládajícímu přes releový obvod elektrické topné těleso o výkonu 6 kW, umístěné ve spodní části nádrže a sloužící k dohřívání kapaliny. Gravitačně stékající tenká

vrstva kapaliny byla opět vytvářena výtokem štěrbinou, tvořenou hradítkem.

Stékající voda byla zachycována odměrnou nádobou a z ní čerpadlem  $\varphi$  opět doprovázena do zásobní nádrže 3. Povrchová teplota stěny desky byla měřena termočlánky, rovněž teplota stékající kapaliny na vstupu a výstupu desky. Povrchová teplota byla měřena ve 14 ti bodech desky.

Tlak topné páry byl určován rtuťovým U-manometrem i zebudovaným za cyklonový odlučovač. Přívod tlaku přes kondensační nádobku vylučoval chybu vzniklou případnou kondensací páry. Vzhledem k nízkým hodnotám tlaku topné páry byl měřen i barometrický tlak staničním barometrem, aby hodnota tlaku topné páry mohla být přesně stanovena.

Teplota topné páry byla určována rtuťovým teploměrem, zebudovaným do teploměrné jímky umístěné za cyklonový odlučovač.

#### b) Uspořádání a postup měření

Pro zkoušky byla jako zkušební kapalina použita voda, která byla odebírána z vodovodního řádu.

Při měření byly nastaveny příslušné parametry topné páry i stékající kapaliny. Po dosažení setrvačného stavu bylo prováděno vlastní měření, během kterého byly potřebné hodnoty odečítány v pětiminutových intervalech.

Měření bylo nutno provádět při většině průtočných množstvích stékající kapaliny a to z toho důvodu, aby stékající vrstva byla stabilní, aby pokryvala celou teplosměnnou

plochu a nedocházelo k jejímu porušování.

Měření teplot. Pro měření teplot topné páry a kondensátu bylo použito cejchovaných rtuťových teploměrů s dělením 1/2 resp. 2/10 °C.

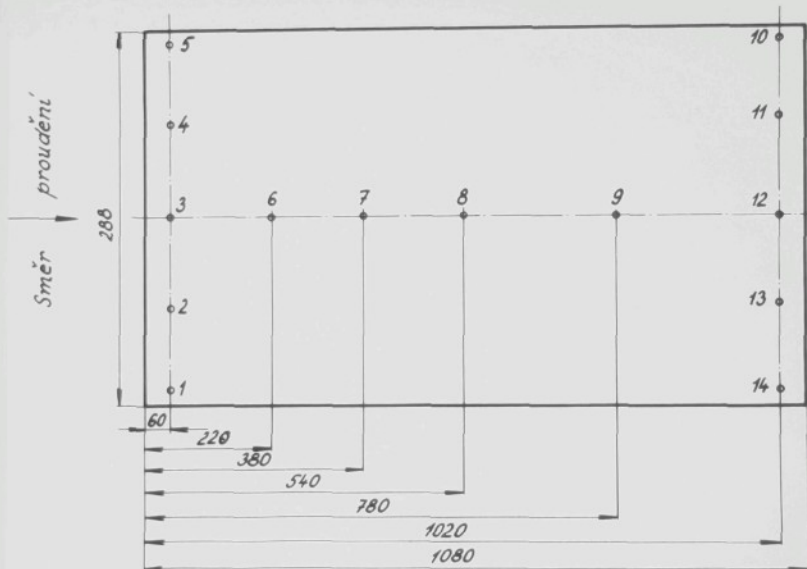
K měření vstupní a výstupní teploty kapaliny bylo použito termočlánků chromel - alumel. Termočlánky byly vyrobeny z termočlánkových drátů dodávaných firmou Degussa. Vyrobené termočlánky byly cejchovány a cejchovní křivka se nelišila od hodnot daných výrobcem. Průměr termočlánkových drátů Ø 0,1 mm.

Zvláštním způsobem, který bude dále popsán, bylo provedeno měření povrchové teploty desky na straně stékající tenké vrstvy kapaliny.

Elektromotorická síla termočlánků v mV byla zjištována QTK kompensátorem, výrobce Metra Blansko, což zaručovalo dostatečně přesné odečítání hodnot s přesností 0,1 °C.

Povrchová teplota topné desky byla měřena ve 14ti bodech, jejichž rozdělení na desce je zřejmé z obr. 26, kde ve vstupním průřezu napříč deskou byla teplota měřena v pěti bodech a stejně tak ve výstupním průřezu. Podél desky byla teplota určována šesti termočlánky, umístěnými v podélné ose desky. Rozložení termočlánků bylo voleno tak, aby umožňovalo určit střední hodnotu povrchové teploty desky. K měření bylo použito speciálních termočlánků, jejichž jedna větev je tvořena chromelovým drátkem o průměru Ø 0,1 mm, druhou větev termočlánku tvoří vlastní materiál desky, tedy nerezavějící ocel AKVN. Toto provedení termočlánku má tu

výhodu, že údaj termočlánku není ovlivněn odvodem tepla termočlánkovým drátkem z měřeného místa.

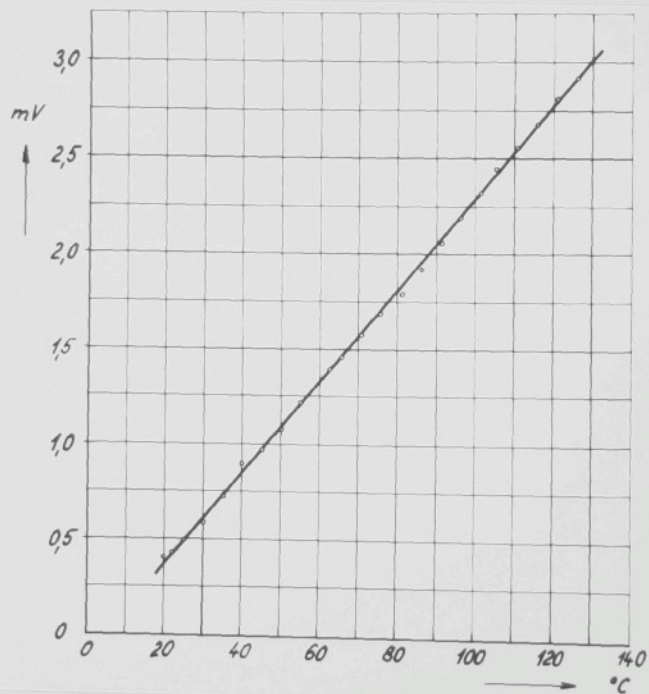


Obr. 26

Rozložení míst měření povrchové teploty na desce

Chromelové drátky byly v měřeném místě k desce přivezeny kondenzátorovým výbojem. Takový spoj má tu výhodu, že je čistý a v místě spoje nedojde k vytvoření kuličky ani náruštu. Tím bylo dosaženo toho, že spoj chromelového drátku s desky je dokonalý, průměr drátku 0,1 mm zůstává zachován i v místě spoje a chromelový drátek, procházející stékající tenkou vrstvou vzhledem ke svému průměru prakticky neovlivňuje proudění na desce.

Takto vytvořený termočlánek byl cejchován a jeho charakteristika je uvedena v diagramu na obr. 27. Ze znázornění je zřejmý přímkový průběh elektromotorické síly v mV v závislosti na teplotě. Dvojice chromel - ocel AKVN dává na  $100^{\circ}\text{C}$  elektromotorickou sílu 2,6 mV. Přepinačem měřících míst byla zjištována teplota v jednotlivých bodech. Studený spoj termočlánku byl udržován na teplotě  $0^{\circ}\text{C}$ .



Obr. 27

Cejchovní křivka termočlánku chromel-ocel AKVN

Měření množství stékající kapaliny a topné páry.

Množství stékající kapaliny bylo určováno vážením. Stékající kapalina byla zachycována do odměrné nádoby a doba potřebná k naplnění určitého objemu byla měřena stopkami. Vážením pak bylo určeno množství. Chyba tohoto měření je menší než 0,5 %.

Protékající objem kapaliny je určen výrazem

$$V = \bar{w} \sigma U \quad (37)$$

kde  $U$  je šířka desky.

Reynoldsovo číslo je pak možno vyjádřit pomocí množství kapaliny ve tvaru

$$Re = \frac{\bar{w} \sigma}{\nu} = \frac{V}{U \nu} \quad (38)$$

Množství topné páry bylo určováno vážením vzniklého kondensátu. Doba potřebná k naplnění určitého objemu byla měřena stopkami.

## c) Stanovení množství sdíleného tepla

Na povrchové ploše stékající tenké vrstvy dochází mezi kapalinou a obklopujícím prostředím ke sdílení tepla a přenosu hmoty, zvláště při vyšší teplotě.

Ke sdílení tepla dochází v důsledku tepelného rozdílu mezi povrchem stékající vrstvy a obklopujícím prostředím, tedy vzduchem, a k přenosu hmoty v důsledku vypařování kapaliny.

Celkový tepelný tok  $Q_{\text{pl}}$  na povrchové ploše je dán rovnici

$$Q_{\text{pl}} = \bar{\alpha}_{\text{pl}} F_{\text{pl}} (\bar{t}_{\text{pl}} - \bar{t}_o) + \bar{\beta} F_{\text{pl}} \left[ \frac{r}{RT} (\bar{p}_{\text{pl}} - \bar{p}_o) \right] \quad (39)$$

kde  $\bar{t}_{\text{pl}}$  a  $\bar{t}_o$  jsou střední teploty povrchové vrstvy a okolí  
 $\bar{p}_{\text{pl}}$  a  $\bar{p}_o$  jsou střední parciální tlaky páry na mezi systému v povrchové ploše a okolí

$F_{\text{pl}}$  plocha povrchu stékající vrstvy

$\bar{\alpha}_{\text{pl}}$  střední součinitel přestupu tepla na povrchové ploše

$\bar{\beta}$  střední součinitel přenosu hmoty

$r$  výparné teplo

$T$  střední absolutní teplota mezní vrstvy

$R$  plynová konstanta vodní páry

Měření prováděná Sexauerem [16] a Wilkem [19] pro stékající vodní vrstvu po svislé trubce prokázala malý vliv Reynoldsova čísla na součinitele přenosu hmoty  $\bar{\beta}$ . Např. pro stékající vodní vrstvu v délce 2 400 mm o střední teplotě 30 °C má součinitel přenosu hmoty hodnotu  $\bar{\beta} = 30 \text{ m h}^{-1}$ .

Množství sdíleného tepla  $Q$ , procházejícího teplosměnnou plochou pro určení součinitele přestupu tepla je dáno výrazem

$$Q = Q_v + Q_{\text{pl}} \quad (40)$$

kde  $Q_v$  je množství tepla potřebného k ohřátí stékající tenké vrstvy

$Q_{\text{pl}}$  je množství tepla předávaného okolí dle rovnice (39)

Vzhledem k tomu, že zkušební topná deska byla tepelně isolována, je možno zanedbat ztrátu tepla isolovaných částí desky do okolí. V důsledku dobré isolační schopnosti sklováknitých desek se nelíšila teplota povrchu isolace a okolí.

Potom je tedy možno určit množství tepla  $Q$  dle rovnice (40) z množství tepla přivedeného topnou parou, tedy

$$Q = Q_k = M_k (i_h - i_k) \quad (41)$$

kde  $M_k$  je množství kondensátu

$i_h$  entalpie topné páry před vstupem do topného prostoru desky

$i_k$  entalpie kondensátu

Teplo  $Q_k$ , sdělované na povrchové ploše stékající vrstvy, ovlivňuje teplotu kapaliny tím způsobem, že stékající kapalina je tímto způsobem ochlazována.

#### d) Stanovení střední teploty povrchu topné desky

Pro určení středního součinitele přestupu tepla  $\bar{\alpha}$  ve stékající vrstvě je nezbytné určit střední teplotu povrchu topné desky. S ohledem na tuto podmíinku bylo uspořádání měření teplot povrchu desky takové, aby umožňovalo určení průběhu teploty jak v příčném, tak i v podélném směru.

Zjištěním průběhu teploty v příčném směru ve vstupním a výstupním průřezu bylo možno určit střední hodnotu teploty v těchto průřezech. Z průběhu teploty v podélné ose desky a ze zjištěných středních teplot ve vstupním a výstupním průřezu byla pak stanovena střední hodnota teploty povrchu desky.

na straně stěkající tenké vrstvy.

Vyhodnocování středních teplot bylo prováděno dle výrazu

$$\bar{t} = \frac{1}{b} \int_0^b t(r) dr \quad (42)$$

pro příčný průřez a

$$\bar{t}_{str} = \frac{1}{L} \int_0^L \bar{t}(z) dz \quad (43)$$

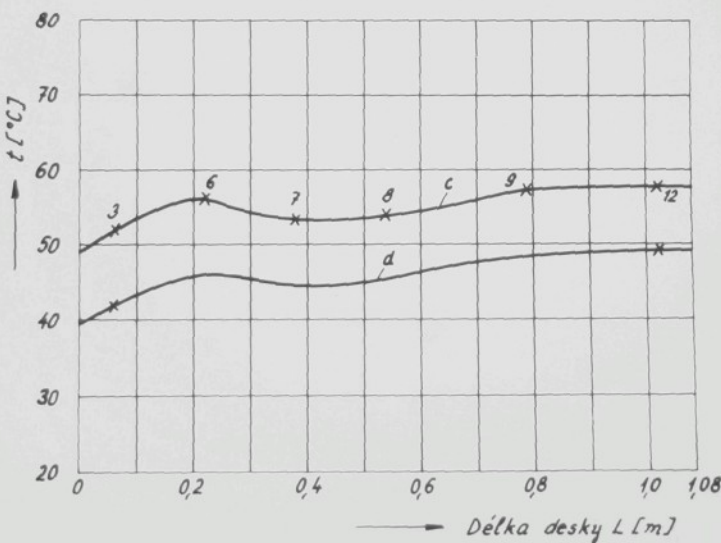
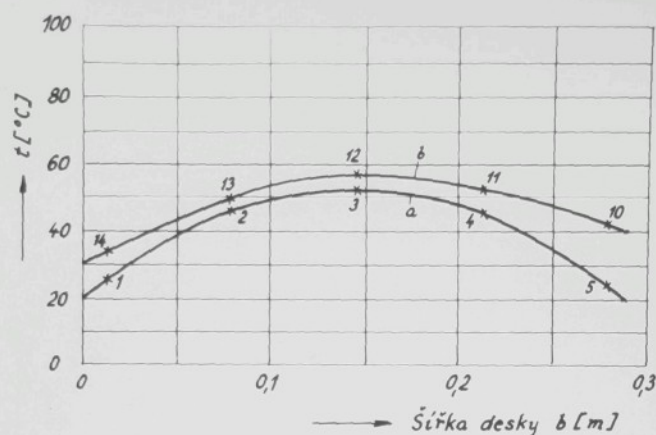
v podélném směru tak, že po grafickém znázornění naměřených hodnot byla planimetrováním plochy pod křivkou průběhu teploty určena střední hodnota. Na obr. 28 a, b, c, d, e, f je uvedeno několik naměřených průběhů teploty pro různé poměry a sklon topné desky. Změna teploty v příčném směru není způsobena ztrátami tepla do okolí, ale rozdíly v teplotách jsou způsobeny patrně přívodem páry. Jak je zřejmé z obr. 4, je deska vyztužena žebry, které mohou způsobovat nerovnoměrné rozdělování páry v topném prostoru.

Z průběhů teplot v obr. 28 podél desky je dobře patrná změna povrchové teploty ve vrchní části desky, ovlivňující hodnotu součinitele přestupu tepla.

#### e) Stanovení součinitelů přestupu tepla

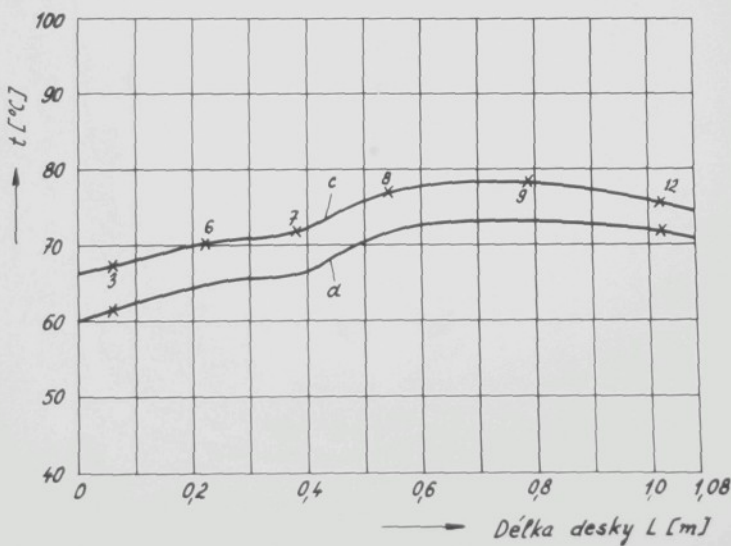
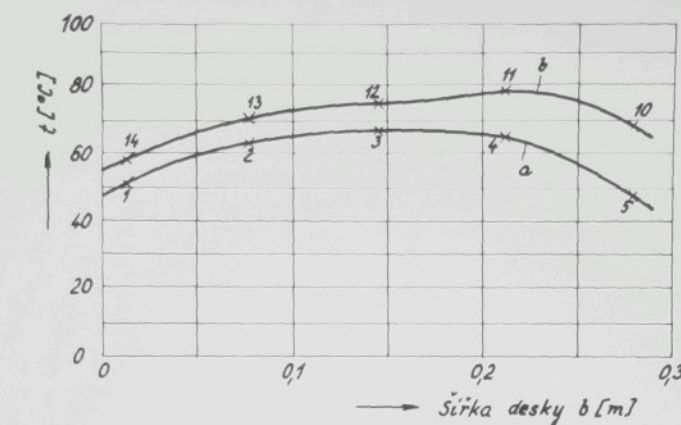
Střední součinitel přestupu tepla  $\bar{\alpha}$  byl určován podle rovnice (35)

$$\bar{\alpha} = \frac{q}{F(t_j - \bar{t}_k)}$$



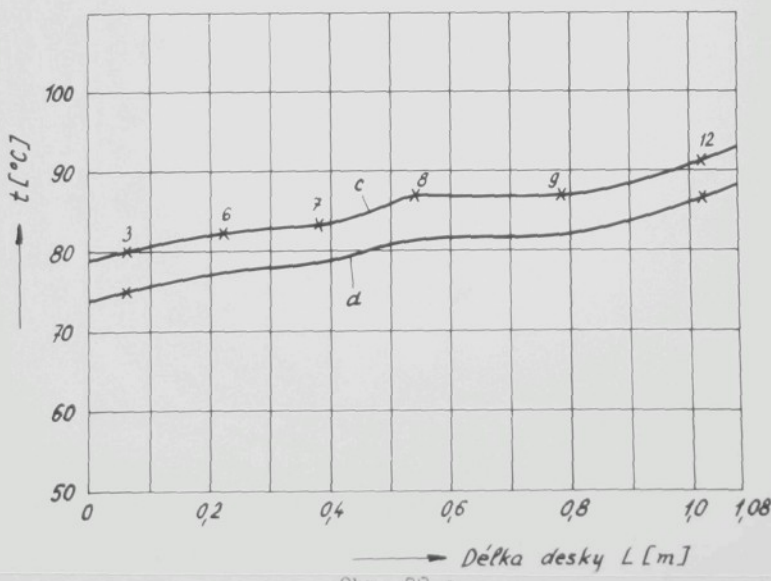
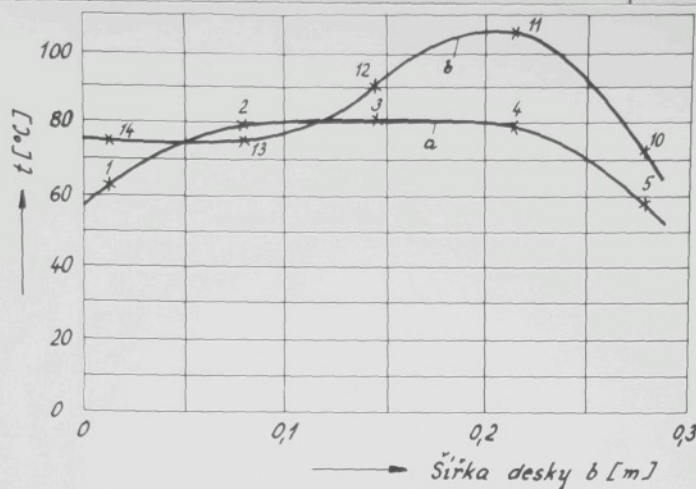
Obr. 28 a

Průběhy povrchových teplot desky při  $\varphi = 90^\circ$ ,  $Re = 457$   
 $\delta = 0,420$  mm,  $\bar{t}_v = 35,4^\circ\text{C}$ ; a,b - teplota v příčném průřezu na vstupu a výstupu; c - průběh teploty v podélné ose;  
d - průběh střední teploty v podélné ose. Označení měřicích  
míst dle obr. 26



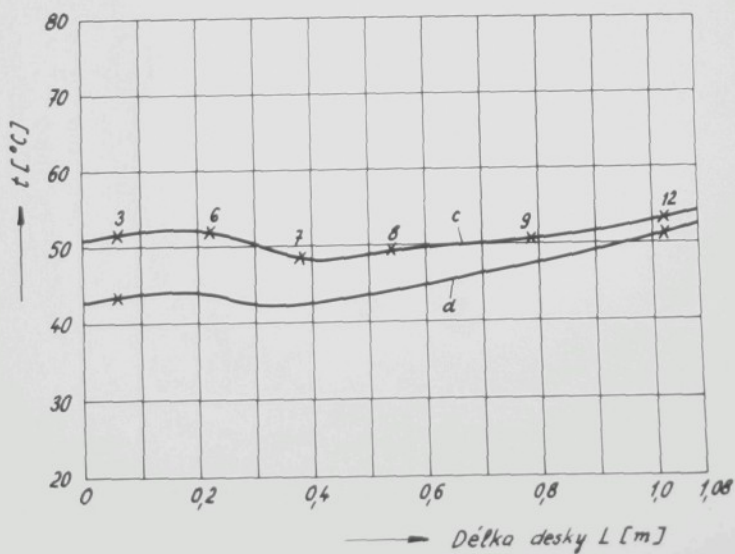
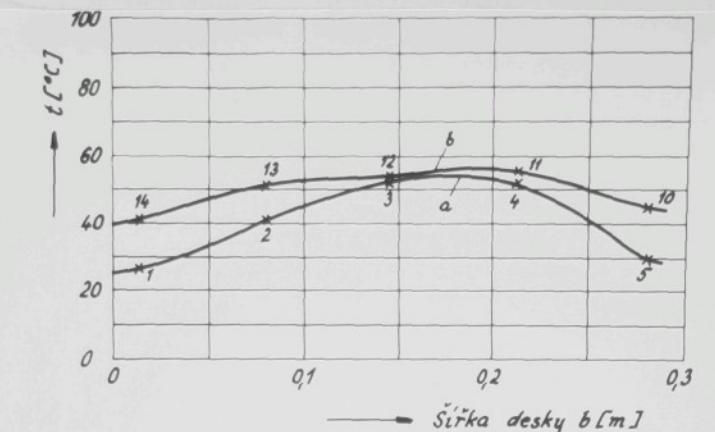
Obr. 28 b

Průběhy povrchových teplot desky při  $\varphi = 90^\circ$ ,  $Re = 713$ ,  
 $\delta = 0,433$  mm,  $\bar{t}_v = 55,2^\circ\text{C}$ ; způsob označení jako v obr. 28a



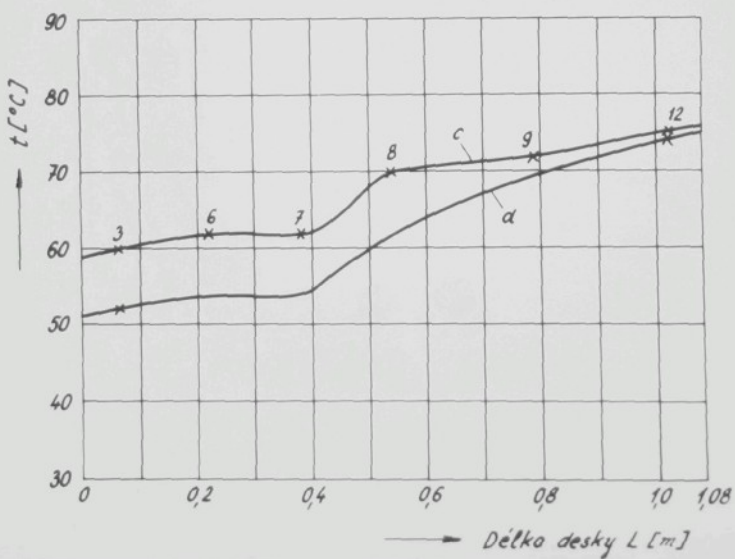
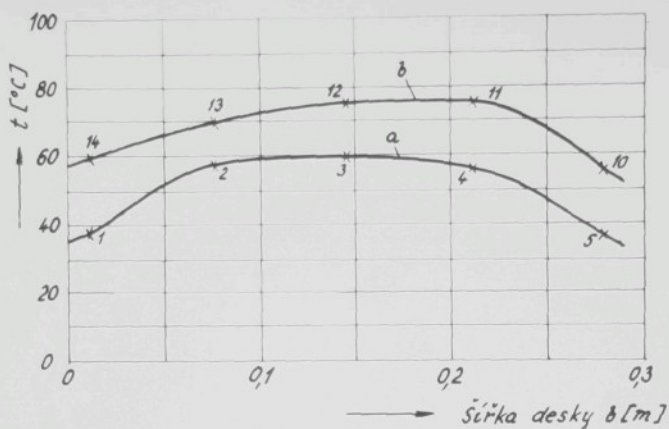
Obr. 28 c

Průběhy povrchových teplot desky při  $\varphi = 60^\circ$ ,  $Re = 1\ 082$ ,  
 $\delta = 0,500$  mm,  $\bar{t}_v = 67,9$  °C ; způsob označení jsko v obr. 28a



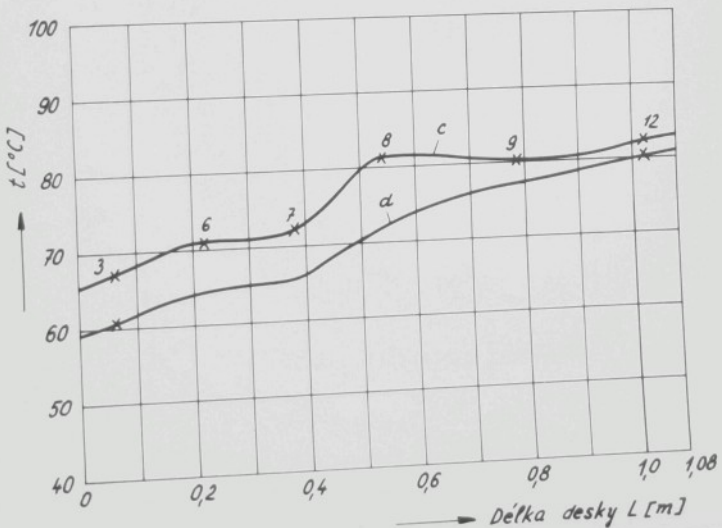
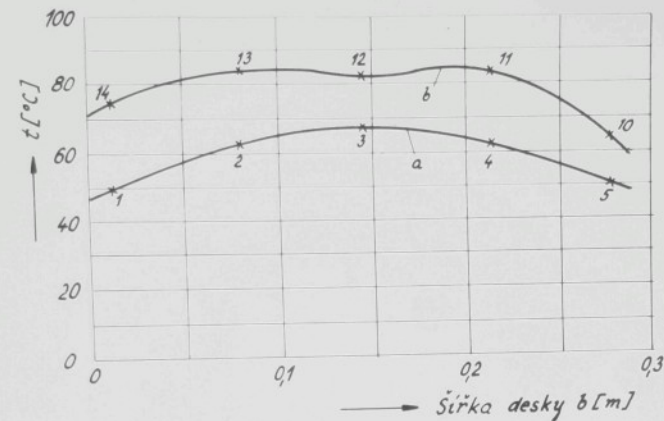
Obr. 28 d

Průběhy povrchových teplot desky při  $\varphi = 60^\circ$ ,  $Re = 710$ ,  
 $\sigma = 0,552$  mm,  $\bar{t}_v = 37,3^\circ\text{C}$ ; způsob označení jako v obr. 28 a



Obr. 28 e

Průběhy povrchových teplot desky při  $\varphi = 30^{\circ}$ ,  $Re = 1\,062$ ,  
 $d = 0,718$  mm,  $\bar{t}_v = 49,0$   $^{\circ}$ C; způsob označení jako v obr. 28 a



Obr. 28 f

Průběhy povrchových teplot desky při  $\varphi = 30^\circ$ ,  $Re = 1\,245$ ,  
 $d = 0,712$  mm,  $\bar{t}_v = 58,5$  °C; způsob označení jako v obr. 28 a

Určovací teplotou, pro níž byly určovány látkové konstanty byla zvolena střední teplota stékající vrstvy kapaliny.

Střední Nusseltovo číslo je dle dřívější rovnice (20) definováno výrazem

$$\overline{Nu} = \frac{\bar{\alpha} \sigma}{\lambda}$$

Střední tloušťka stékající tenké vrstvy byla určována pomocí rovnice

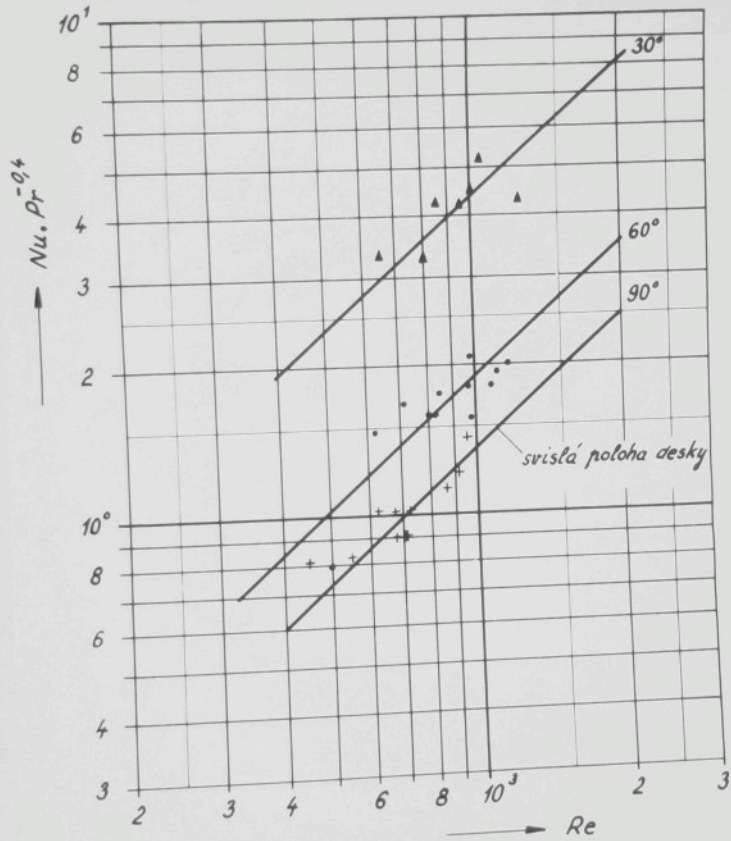
$$\sigma = 0,302 \left( \frac{3 \nu^2}{g \sin \varphi} \right)^{1/3} Re^{8/15}$$

Naměřené a vypočtené hodnoty uvádí tabulka TAB.III.

V této tabulce jsou naměřené hodnoty topné páry a stékající kapaliny, dále tabulka obsahuje naměřené hodnoty teploty povrchu desky a její střední teplotu, fyzikální parametry vody, hodnoty středního součinitele přestupu tepla a konečně hodnoty bezrozměrných kriteriálních výrazů Nu, Pr.

Na obr. 29 je dvojnásobných logaritmických souřadnicích uvedena závislost součinu bezdimensionálních veličin

$Nu \cdot Pr^{-0.4}$  na Reynoldsově čísle spolu s naměřenými hodnotami pro různý sklon desky. Ze znázornění je zřejmé, že se zmenšujícím se úhlem sklonu desky  $\varphi$  se hodnota součinu  $Nu \cdot Pr^{-0.4}$  zvětšuje.



Obr. 29

Závislost veličiny  $Nu \cdot Pr^{-\theta/4}$  na Reynoldsově čísle  
a znázornění naměřených hodnot

## VI. Zhodnocení výsledků a jejich porovnání s dřívějšími výzkumy

Tepelná část zkoušek byla prováděna pro případ stekání vodní vrstvy po svislé a šikmé desce, která byla ohřívána kondensující vodní parou. Úhel sklonu desky byl volen  $\varphi = 90^\circ$ ,  $60^\circ$  a  $30^\circ$ . Náteková teplota kapaliny byla měněna v rozmezí  $20$  až  $70^\circ\text{C}$ , tlak topné - prakticky syté - páry v rozmezí  $1,05$  až  $2,0 \text{ kp cm}^{-2}$ .

Zkoušky byly prováděny v rozmezí Reynoldsova čísla  $Re = 400$  až  $2\,000$ . Naměřené hodnoty byly zpracovány do bezrozměrných argumentů a to Nusseltova, Reynoldsova a Prandtlova kriteria. Získané hodnoty byly graficky vyneseny ve dvojnásobných logaritmických souřadnicích v soustavě  $Nu, Pr^{-0,4} - Re$ . Exponent  $n$  u Prandtlova čísla byl v souhlase s rovnicií Dittus-Boelterovou popisující turbulentní proudní zvolen  $n = 0,4$  vzhledem k tomu, že stekání vrstvy má turbulentní charakter. Ze znázornění naměřených hodnot je patrné, že body jsou rozloženy kolem přímky, která svírá s osou Reynoldsova čísla určitý úhel. Bylo tedy možno pro bezdimenzionální vyjádření použít rovnice typu

$$Nu = \text{konst. } Re^m Pr^n \quad (44)$$

Ve dvojnásobných logaritmických souřadnicích odpovídá této rovnici přímka, pro kterou je možno psát rovnici typu

$$Y = aX + b \quad (45)$$

Konstanta  $a$  ( odpovídá exponentu  $m$  v rovnici (44) ) určuje sklon přímky konstanta  $b$  ( odpovídá konstantě v rovnici (44) ) udává pořadnici na ose  $y$ . Konstanty  $a$  a  $b$  lze pak určit z naměřených hodnot, a tím vyrovnat měření do přímky, metodou nejmenších čtverců odchylek.

Z obr. 29 je zřejmé, že s měnícím se úhlem sklonu desky  $\varphi$  se přímky, odpovídající průběhu naměřených hodnot, nevzájem posouvají.

Po vyrovnaní měření v oblasti Reynoldsova čísla  $400 < Re < 2000$  vyhovují naměřené hodnoty pro případ svislé desky ( $\varphi = 90^\circ$ ) rovnici

$$\overline{Nu} = 0,0033 Re^{13/15} Pr^{0,4} \quad (46)$$

pro úhel sklonu  $\varphi = 60^\circ$

$$\overline{Nu} = 0,0046 Re^{13/15} Pr^{0,4} \quad (47)$$

a pro sklon  $\varphi = 30^\circ$

$$\overline{Nu} = 0,0106 Re^{13/15} Pr^{0,4} \quad (48)$$

Přímky v obr. 29 odpovídají rovnicím (46), (47) a (48). Přímky znázorňující naměřené hodnoty mají od stanoveného průběhu střední odchylku  $\leq \pm 10\%$ , jak vyplývá z vyhodnocení grafického znázornění.

Z diagramu na obr. 29 je dále patrné, že hodnota středního součinitele přestupu tepla  $\bar{\alpha}$  se zvětšuje s rostoucím Reynoldsovým číslem a se zmenšujícím se úhlem sklonu desky

paliny do 50 °C není tento podíl příliš výrazný - činí asi 2 % - a je možné jej zanedbat. Při teplotách kapaliny nad 50 °C dochází k intenzivnějšímu vypařování, které se s rostoucí teplotou zvětšuje. Při střední teplotě kapaliny 75 °C ( tedy při značně vysoké hodnotě ) bylo porovnáním tepla přivedeného a předeného parou s teplem potřebným k ohřátí stékající kapaliny zjištěno, že podíl tepla  $Q_{\text{ne}}$  k přenosu tepla a hmoty činí ~ 10 % celkového přivedeného tepla  $Q$ .

Experimentálně zjištěné hodnoty součinitele přestupu tepla jsou v obr. 30 porovnány s jedinými známými zkouškami podobného typu, které prováděl Garwin a Kelly [17] a o kterých bylo pojednáno v kapitole III. Pro rozsah Reynoldsova čísla 500 až 4 000 udávají autoři pro střední součinitel přestupu tepla  $\bar{\alpha}$  závislost

$$\bar{\alpha} = 3730 \sin \varphi^{0.2} \left( \frac{M}{U} \right)^{1/3} \text{kcal.m}^{-2} \text{h}^{-1} \text{deg}^{-1} \quad (49)$$

kde  $\varphi$  je úhel sklonu desky

$M$  průtočné množství  $\text{kg h}^{-1}$

$U$  šířka desky  $\text{m}$

Tato závislost byla stanovena pro střední teplotu kapaliny 34 °C. V obr. 30 jsou porovnány výsledky dle rovnic (46), (47) a (48) s hodnotami, které dává rovnice (49). Výsledky byly přepočteny pro stejné poměry. Ze znázornění vyplývá opačný vliv úhlu sklonu desky  $\varphi$  na velikost středního součinitele přestupu tepla  $\bar{\alpha}$ . Tento rozpor je možno vysvětlit tím, že rovnice (49) je stanovena pro případ, kdy kapalina je na desku nastřikována a tedy jedná se o nucené

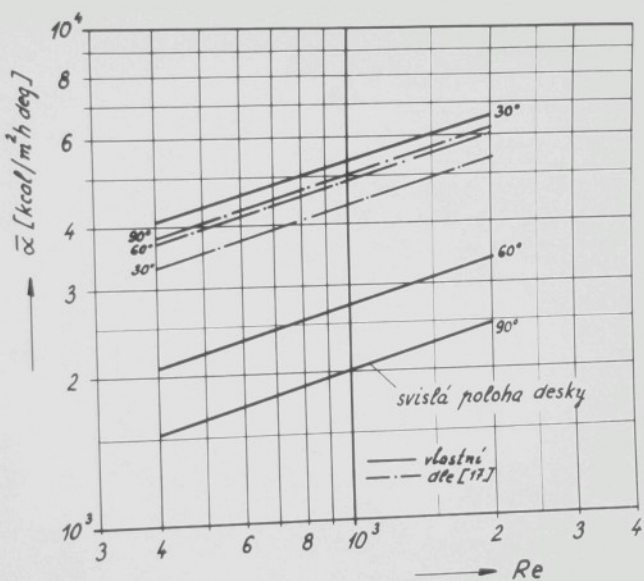
tedy i přes to, že vzniká v důsledku zmenšujícího se sklonu tloušťka stě ající tenké vrstvy  $\delta'$  v důsledku zmenšení střední rychlosti stékající vrstvy  $\bar{w}'$ . Zvýšení středního součinitele přestupu tepla  $\bar{\alpha}'$  je možno vysvětlit zlepšením součinitele přestupu tepla kondensující vodní páry na topné strany desky.

V případě svislé desky vzniká na topné ploše vrstva kondensátu, jejíž tloušťka se podél teplosměnné plochy zvětšuje. Tato vrstva brání přístupu topného media k teplosměnné ploše, což nepříznivě ovlivňuje přestup tepla do povrchu teplosměnné plochy. Ve spodní části desky, kde vrstva kondensátu bude největší, dochází v podstatě k ohřevu kondensátem, který se podchlazuje. O tom svědčí průběhy naměřených hodnot teploty povrchu topné desky ( obr. 28 ) a také teplota kondensátu ( TAB. III ), který je silně podchlazen. Tím je ovšem sdílení tepla na straně topné páry nepříznivě ovlivněno a tím i střední součinitel přestupu tepla  $\bar{\alpha}'$ .

Při zmenšujícím se úhlu sklonu desky  $\varphi$  vzniklý kondensát nepokrývá souvisle topnou plochu, odkapává z ní. Tento jev bude příznivější se zmenšujícím se úhlem sklonu. V důsledku toho přestup tepla z topné páry do teplosměnné plochy se zintenzívnuje a podchlazení kondensátu se zmenší. Střední součinitel přestupu tepla  $\bar{\alpha}'$  se zvětší.

Pokud se týká přenosu tepla a hmoty z povrchové plochy stékající tenké vrstvy do okolí v souhlase s jinými autorůmi [16], [19] bylo zjištěno, že při teplotách ka-

stekání vrstvy a nikoliv gravitační. Jde tedy o případ intensifikace sdílení tepla a proto také součinitel přestupu tepla má větší hodnotu. S ohledem na porovnání je součinitel přestupu tepla  $\bar{\alpha}$  uveden v dimenci kcal  $m^{-2} h^{-1} deg^{-1}$ .



Obr. 30

Závislost středního součinitele přestupu tepla  $\bar{\alpha}$  na Reynoldsově čísle. Porovnání s výsledky Garvina a Kellyho [17].

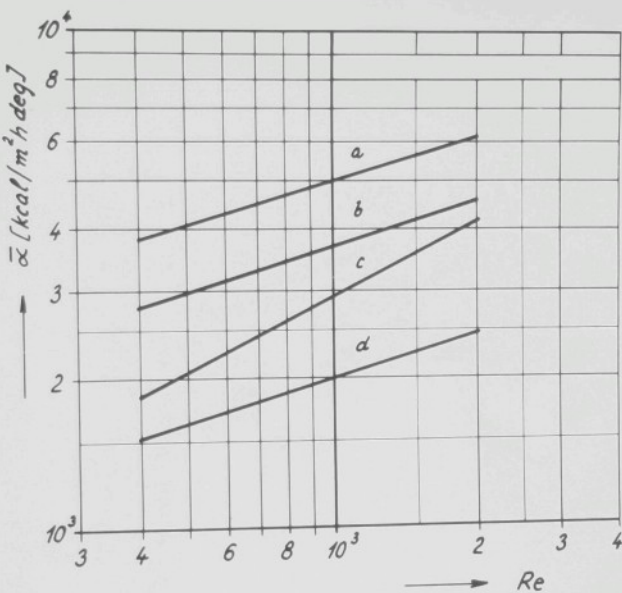
Jelikož v případě nuceného stekání vrstvy má součinitel přestupu tepla  $\bar{\alpha}$  na straně stékající kapaliny větší hodnotu než na straně kondensující vodní páry, neprojeví se příznivým způsobem zmenšující se sklon desky, ale naopak projeví se zhoršení součinitele přestupu tepla na straně stékající

kapaliny v důsledku zvětšení tloušťky vrstvy  $\sigma^*$ .

V případě gravitačního stékání naopak součinitel přestupu tepla na straně stékající tenké vrstvy má menší hodnotu než na straně kondensující vodní páry. V důsledku toho se zlepšení přestupu tepla při kondenzaci vlivem zmenšení úhlu sklonu desky příznivě projeví i na přestupu tepla na straně kapaliny. Zejmámy zjištěním je skutečnost vyrovnání hodnot součinitele přestupu tepla  $\bar{\alpha}$  při gravitačním stékání s sklonu  $\varphi = 30^\circ$  s hodnotami zjištěnými při nuceném stékání po svislé desce.

Pře úplnost je provedeno i porovnání s jinými výsledky zkoušek s přestupem tepla do stékající kapaliny po svislé trubce v případě ohřevu vodou, jejichž popis a podmínky, za kterých tyto zkoušky prováděny jsou uvedeny v kapitole III. Toto srovnání nebude exaktní, neboť vzhledem k poměrně znadným délkatým zkušebním zařízení nemusí být dodržena celistvost stékající vrstvy. Stejně tak i podmínky ohřevu jsou jiné a jde tedy pouze o informativní porovnání.

V obr. 31 je porovnán průběh závislosti stanovené na základě rozsáhlých zkoušek Sexauerem [16] pro svislou ocelovou trubku (průměr  $c$ ) s průběhem dle rovnice (46) průměra  $\alpha$ . Sexauer jako jediný autor popisuje vliv materiálu na součinitel přestupu tepla. Např. rovnice stanovená Sexauerem dává hodnoty součinitele přestupu tepla  $\bar{\alpha} \approx 38\%$  větší v případě zkušebního zařízení z mosazi než pro ocelové zkušební zařízení. Tuto otázku bude třeba ještě objasnit.



Obr. 31

Porovnání zjištěné závislosti  $\bar{\alpha}$  na Reynoldsovo čísle u svislé desky s výsledky jiných autorů

$$a - \text{průběh dle } \text{L} 17 \text{ J} \quad \bar{\alpha} = 3730 \left( \frac{M}{U} \right)^{1/3}$$

$$b - \text{průběh dle } \text{L} 18 \text{ J} \quad \frac{\bar{\alpha}}{\lambda} \left( \frac{v^2}{g} \right)^{1/3} = 0,0159 \text{ } Re^{1/3} \text{ } Pr^{1/3}$$

$$c - \text{průběh dle } \text{L} 16 \text{ J} \quad \overline{Nu} = 137 \cdot Re^{0.5} \cdot Pr^{0.15} \left( L/L_o \right)^{0.935}$$

$$d - \text{vlastní měření} \quad \overline{Nu} = 0,0033 \text{ } Re^{13/15} \text{ } Pr^{0.6}$$

V obr. 31 přímka b znázorňuje průběh závislosti stanovené Mc Adensem, Drewem a Baysem L 18 J. Vzhledem k poměrně značné délce použitého experimentálního zařízení, kdy tenká vrstva stéká uvnitř trubky, zůstává otázkou její stabilita.

Udržení souvislé stékající tenké vrstvy tek, aby tato pokrývala celou teplosměnnou plochu, obzvláště u nižších hodnot Reynoldsova čísla je značně obtížné.

Kriteriální závislosti, popisující mechanismus sdílení tepla v tenké vrstvě stanovené Wilkem [19], dávají značně vysoké hodnoty součinitele přestupu tepla. To je způsobeno vytápením, kdy topná voda proudí proti proudem oproti stékající kapalině a tiské poměrně značnou délkou zkušebního zařízení, kdy se neprojeví vliv náběhové délky na hodnotu součinitele přestupu tepla.

### VII. Zhadnocení práce a získané nové poznatky

V předložené práci jsou objasnovány podmínky sdílení tepla ve stékající tenké vrstvě po svislé a šikmé ploše. Mechanismus sdílení tepla je přitom závislý na hydrodynamických poměrech stékající vrstvy kapaliny.

Provedenými zkouškami a získanými výsledky byla ověřena platnost Nusseltovy teorie pro laminární stékání po svislé ploše; pro turbulentní charakter stékání pak platnost empirického vztahu pro stanovení střední tloušťky stékající tenké vrstvy.

Pro zjištění střední tloušťky stékající vrstvy  $\sigma'$  a střední rychlosti stékání  $\bar{w}$  byly vyvinuty a ověřeny měřicí metody. K určení střední tloušťky bylo použito principu statistického rozložení četnosti impulsů vln stékající kapaliny, pro měření rychlosti stékající tenké vrstvy byla aplikována Allenova metoda zvýšení vodivosti solným mrázem.

Podmínky pro sdílení tepla byly vyšetřovány pro úhel sklonu desky  $\varphi = 90^\circ, 60^\circ$  a  $30^\circ$  pro případ ohřevu kondensující parou. Naměřené hodnoty byly zpracovány a dají se vyjádřit bezrozměrnou kriteriální rovnicí typu

$$Nu = \text{konst.} \cdot Re^m \cdot Pr^n$$

Výsledky měření prokázaly příznivý vliv zmenšujícího se sklonu desky na střední součinitel přestupu tepla  $\bar{\alpha}$ . Zmenšením úhlu sklonu  $\varphi$  je možno dosáhnout hodnot součinitele přestupu tepla jako v případě nuceného stékání použitím nástřiku kapaliny na teplosměnnou plochu větší rychlostí. Tek např. v případě svislé desky dosahuje střední součinitel přestupu tepla  $\bar{\alpha}$  hodnot v mezích 2 100 až 3 400 kcal m<sup>-2</sup> h<sup>-1</sup> deg<sup>-1</sup> pro rozsah Reynoldsova čísla  $Re = 400$  až 2 000. Při sklonu desky  $\varphi = 30^\circ$  pro stejný rozsah Reynoldsova čísla mění se součinitel přestupu tepla v mezích 4 100 až 6 600 kcal m<sup>-2</sup> h<sup>-1</sup> deg<sup>-1</sup>.

Vzhledem k poměrně značným hodnotám středního součinitele přestupu tepla  $\bar{\alpha}$  je možno teplosměnných zařízení pracujících se stékající tenkou vrstvou s výhodou použít jenko ohřívače při zpracování látek citlivých na teplotu, u kterých je nebezpečí proběhnutí chemických reakcí při setrvení na vyšší teplotě. Velkou předností těchto zařízení je jednoduchá konstrukce.

Zařízení, u kterých probíhá sdílení tepla v tenké vrstvě jsou dalším vývojovým stupněm teplosměnných zařízení, který může být ze určitých poměrů velmi výhodný.

Miroslav Bráňák

## VIII. Souhrn

V předložené práci je úspěšně řešena problematika sdílení tepla do stáčající tenké vrstvy po svislé a šikmé ploše, vytápěné kondensující parou.

Byla vyvinuta a ověřena metodika měření střední tloušťky stáčající tenké vrstvy založené na principu statistického rozložení četnosti impulsů vln stáčající kapaliny a její střední rychlosti aplikací Allenovy metody zvýšení vodivosti solným mráčkem. Měření prokázalo platnost Nusseltovy teorie hydrodynamiky stáčající tenké vrstvy pro oblast laminárního charakteru stékání.

Při ověřování vlivu sklonu teplosměnné plochy na sdílení tepla bylo prokázáno, že se zmenšujícím se sklonem desky součinitel přestupu tepla se zvětšuje. Při sklonu desky  $30^\circ$  dosahoval střední součinitel přestupu tepla hodnot  $\bar{\alpha} = 6\ 000 \text{ kcal m}^{-2} \text{ h}^{-1} \text{ deg}^{-1}$ .

VŠST Liberec	Sdílení tepla v tenké vrstvě	Str. 93
-----------------	------------------------------	---------

### IX Použitá literatura

- [ 1 ] W.Nusselt : Die Oberflächenkondensation des Wasserdampfes  
Z. VDI 60 ( 1916 ) S.541 - 46
- [ 1a ] W. Nusselt : Der Wärmeaustausch am Berieselungskühler  
Z. VDI 67 ( 1923 ) S.206 - 10
- [ 2 ] U. Grigull : Wärmeübergang bei der Kondensation mit turbulenter Wasserhaut  
Forsch.Ing. - Wes. 13 ( 1942 ) S.49 - 57
- [ 2a ] Gröber, Erk, Grigull : Wärmeübertragung  
Springer - Verlag, Berlin - Göttingen - Heidelberg 1961, 420 S., 110 Abb.
- [ 3 ] Dukler A.E., Bergelin O.P. : Characteristic of flow  
in falling liquid films  
Chem.Engng.Progr. 48 (1952) S.557 - 63
- [ 4 ] Kirkbride C.G.: Heat transfer by condensing vapor  
on vertical tubes  
Industr.Engng.Chem. 26 ( 1934 ) S.425-28
- [ 5 ] Pennie A.M., Belanger J.Y.: A new method for liquid  
film thickness measurement  
Canad. J.Technol. 30 (1952) S.9 - 19
- [ 6 ] Friedman S.J., Miller C.O.: Liquid films in the  
viscous flow region  
Industr.Engng.Chem. 33 (1941) S.885-90

- { 7 } Brötz W.: Über die Vorausberechnung der Absorptionsgeschwindigkeit von Gasen in strömenden Flüssigkeitsschichten  
Chem. Ing. Techn. 26 (1954) S. 470-78
- { 8 } Brauer H.: Strömung und Wärmeübergang bei Riesel-filmen  
VDI - Forsch. - Heft 457, Düsseldorf 1956
- { 9 } Kapica P.L.: Volnovoje tečenije tonkich slojev vjazkoj židkosti  
Žurnal eksper. i teoret. fiziki  
Tom 18, 1948
- { 10 } Kapica P.L., Kapica S.P. : Volnovoje tečenije ton-kich slojev vjazkoj židkosti  
Žurnal eksper. i teoret. fiziki  
Tom 19, 1949
- { 11 } Feind K.: Strömungsuntersuchungen bei Gegenstrom vom Riesel-film und Gas in lotrechten Rohren  
VDI - Forsch. - Heft 481, Düsseldorf 1960
- { 12 } Banerjee P.K.: Ein Beitrag zu Stoffaustauschvorgän-gen mit Riesel-film in rechteckigem Querschnitt  
Wiss.Ztschr. der TH Magdeburg, Jahrgang VII, Heft 3/4, 1963, S. 371 - 79
- { 13 } Živajkin : Těčenije plenok židkosti po vertikalnoj pověrchnosti  
Žurnal prikladnoj chemii XXXIV, No 6, 1961
- { 14 } Handbuch der Kältetechnik, III Band  
Springer Verlag, Berlin - Göttingen  
Heidelberg 1959, 510 S., 380 Abb.

- / 15 / Teyssler : Technická měření ve strojníctví.  
Měření množatví a výkonnosti  
SNTL Praha, 1953, 205 S.
- / 16 / Sexauer T.: Der Wärmeübergang am senkrechten,  
berieselten Rohr  
Forsch.Ing.-Wes. 10 (1939) Nr.6  
S.286 - 96
- / 17 / Garwin L., Kelly E.W.: Inclined falling films  
Industr.Engng. Chem. 47 (1959) Nr.3  
S. 392 - 95
- / 18 / Mc Adams W.H., Drew T.B., Bays B.S. : Heat transfer  
to falling water films  
Trans.ASME 62 (1940) Nr.10, S.627-31
- / 19 / Wilke W.: Wärmeübergang an Rieselfilme  
VDI - Forsch.-Heft 490, Düsseldorf 1962
- / 20 / Sýkora K.: Základy sdílení tepla,  
skriptum, SNTL 1960
- / 21 / Gregorig R.: Wärmeaustauscher  
Verlag H.R. Sauerländer, 1959, 500 S.  
223 Abb.
- / 22 / Balajka B., Sýkora K.: Výměna tepla v zařízeních  
chemického průmyslu  
SNTL Praha, 1959, 296 s., 228 obr.
- / 23 / Pechoč V.: Vyhodnocování měření a početní metody  
v chemickém inženýrství  
SNTL Praha, 1961, 216 s., 81 obr.

## Seznam obrázků

- Obr. 1 Odparka s pevnými stírači typ Luwa  
Obr. 2 Odparka s kyvnými stírači typ Sambay  
Obr. 3 Odparka Centritherm s nuceně stékající vrstvou  
Obr. 4 Provedení zkušební desky  
Obr. 5 Stínové fotografie stékající tenké vrstvy  
Obr. 6 K odvození Nusseltovy teorie  
Obr. 7 Schéma úpravy zařízení pro hydrodynamické zkoušky  
Obr. 8 Rovinnost zkušební desky  
Obr. 9 Charakter stékající tenké vrstvy  
Obr. 10 Schématické znázornění tloušťek vrstvy  
Obr. 11 K určení střední tloušťky vrstvy  
Obr. 12 Zařízení pro měření tloušťky vrstvy  
Obr. 13 Schéma ovládacího obvodu  
Obr. 14 Měření střední tloušťky v jednom bodě desky  
Obr. 15 Závislost tloušťky vrstvy dle  $\zeta$  87  
Obr. 16 Závislost součinitele hydraulického odporu  $\xi$  na Reynoldsově čísle  
Obr. 17 Naměřené hodnoty tloušťky vrstvy pro různé poměry  
Obr. 18 Zařízení pro vstřikování vodivého roz toku  
Obr. 19 Snímací sonda  
Obr. 20 Oscilogram průchodu vodivého roz toku na desce  
Obr. 21 Rychlostní profil na desce  
Obr. 22 Závislost střední rychlosti dle  $\zeta$  87  
Obr. 23 Naměřené hodnoty rychlosti vrstvy pro různé poměry  
Obr. 24 Schéma úpravy zařízení pro tepelná měření  
Obr. 25 Celkový pohled na zkušební zařízení  
Obr. 26 Místa měření povrchové teploty na desce  
Obr. 27 Cejchovní křivka termočlánku chromel - ocel AKVN  
Obr. 28 Závislost veličiny  $Nu \cdot Pr^{-0.4}$  na Reynoldsově čísle  
Obr. 29 Závislost součinitele přestupu tepla  $\bar{\alpha}$  na  $Re$   
Obr. 30 Porovnání zjištěné závislosti  $\bar{\alpha}$  s výsledky jiných  
Obr. 31 autorů

Tabulky naměřených hodnot

TABULKA I

## Měření střední tloušťky vrstvy

 $Re = 41,46$  $\varphi = 30^\circ$  $d^* = 0,358 \text{ mm}$ 

0,350	0,355	0,330	0,320
0,355	0,405	0,360	0,355
0,380	0,305	0,370	0,340
0,360	0,385	0,380	0,335
0,355	0,365	0,380	0,315
0,375	0,420	0,370	0,335

 $Re = 41,77$  $\varphi = 60^\circ$  $d^* = 0,334 \text{ mm}$ 

0,310	0,340	0,345	0,340
0,355	0,355	0,345	0,345
0,340	0,340	0,350	0,320
0,325	0,330	0,330	0,340
0,345	0,340	0,325	0,310
0,290	0,330	0,330	0,280

TABULKA I  
pokračování $Re = 52,38$  $\varphi = 90^\circ$  $d = 0,298 \text{ mm}$ 

0,285	0,305	0,265	0,245
0,295	0,300	0,305	0,260
0,275	0,285	0,310	0,265
0,295	0,375	0,285	0,285
0,310	0,340	0,350	0,320
0,305	0,295	0,305	0,295

 $Re = 65,47$  $\varphi = 30^\circ$  $d = 0,444 \text{ mm}$ 

0,425	0,435	0,450	0,435
0,430	0,460	0,510	0,475
0,415	0,465	0,535	0,455
0,460	0,435	0,460	0,435
0,405	0,440	0,445	0,425
0,425	0,425	0,415	0,390

TABULKA I  
pokračování $Re = 77,22$  $\varphi = 60^\circ$  $d = 0,373 \text{ mm}$ 

0,360	0,410	0,400	0,405
0,390	0,340	0,385	0,405
0,395	0,390	0,415	0,415
0,395	0,360	0,350	0,360
0,310	0,325	0,355	0,360
0,340	0,340	0,390	0,355

 $Re = 75,36$  $\varphi = 90^\circ$  $d = 0,335$ 

0,320	0,345	0,325	0,350
0,325	0,345	0,355	0,325
0,340	0,350	0,350	0,320
0,325	0,310	0,340	0,365
0,305	0,330	0,345	0,320
0,345	0,340	0,320	0,340

TABULKA I  
pokračování

$Re = 200,9$

$d = 0,491 \text{ mm}$

$\varphi = 30^\circ$

0,470	0,480	0,450	0,465
0,470	0,505	0,510	0,475
0,465	0,515	0,545	0,520
0,465	0,510	0,495	0,455
0,465	0,520	0,515	0,490
0,510	0,530	0,520	0,445

$Re = 213,6$

$d = 0,431 \text{ mm}$

$\varphi = 60^\circ$

0,425	0,450	0,445	0,410
0,430	0,505	0,520	0,370
0,435	0,480	0,475	0,415
0,395	0,395	0,455	0,400
0,420	0,430	0,440	0,365
0,385	0,440	0,425	0,425

## TABULKA I

## pokračování

 $Re = 201,7$  $\varphi = 90^\circ$  $d = 0,421 \text{ mm}$ 

0,415	0,385	0,520	0,405
0,390	0,510	0,450	0,450
0,370	0,465	0,400	0,370
0,405	0,440	0,420	0,465
0,420	0,430	0,395	0,405
0,365	0,415	0,360	0,390

 $Re = 315,4$  $\varphi = 30^\circ$  $d = 0,559 \text{ mm}$ 

0,515	0,455	0,385	0,485
0,465	0,515	0,590	0,565
0,545	0,615	0,575	0,510
0,605	0,555	0,620	0,515
0,605	0,510	0,565	0,510
0,550	0,625	0,585	0,520

TABUĽKA I  
pokračování $Re = 280,4$  $\varphi = 60^\circ$  $d = 0,471 \text{ mm}$ 

0,395	0,425	0,390	0,370
0,460	0,480	0,480	0,430
0,430	0,460	0,435	0,450
0,475	0,495	0,455	0,485
0,460	0,475	0,450	0,480
0,495	0,535	0,480	0,500

 $Re = 263,3$  $\varphi = 90^\circ$  $d = 0,460 \text{ mm}$ 

0,430	0,475	0,510	0,475
0,445	0,550	0,480	0,465
0,445	0,520	0,460	0,445
0,370	0,435	0,550	0,465
0,420	0,430	0,445	0,465
0,410	0,460	0,460	0,430

## TABULKA II

## Měření střední rychlosti vrstvy

$Re = 41,46$

$\varphi = 30^\circ$

$d = 0,358 \text{ mm}$

$w = 0,1735 \text{ m s}^{-1}$

$w_m [\text{m s}^{-1}]$	0,198	0,308	0,356	0,247	0,193

$Re = 41,77$

$\varphi = 60^\circ$

$d = 0,334 \text{ mm}$

$w = 0,203 \text{ m s}^{-1}$

$w_m [\text{m s}^{-1}]$	0,273	0,375	0,363	0,303	0,217

$Re = 52,38$

$\varphi = 90^\circ$

$d = 0,298 \text{ mm}$

$w = 0,228 \text{ m s}^{-1}$

$w_m [\text{m s}^{-1}]$	0,316	0,450	0,379	0,357	0,359

$Re = 65,47$

$\varphi = 30^\circ$

$d = 0,444 \text{ mm}$

$w = 0,203 \text{ m s}^{-1}$

$w_m [\text{m s}^{-1}]$	0,250	0,349	0,366	0,303	0,239

TABULKA II  
pokračování $Re = 77,22$  $d = 0,373 \text{ mm}$  $\varphi = 60^\circ$  $w = 0,306 \text{ m s}^{-1}$ 

$w_m [\text{m s}^{-1}]$	0,397	0,599	0,503	0,446	0,351
-------------------------	-------	-------	-------	-------	-------

 $Re = 75,36$  $d = 0,335 \text{ mm}$  $\varphi = 90^\circ$  $w = 0,321 \text{ m s}^{-1}$ 

$w_m [\text{m s}^{-1}]$	0,490	0,530	0,505	0,450	0,448
-------------------------	-------	-------	-------	-------	-------

 $Re = 200,9$  $d = 0,491 \text{ mm}$  $\varphi = 30^\circ$  $w = 0,417 \text{ m s}^{-1}$ 

$w_m [\text{m s}^{-1}]$	0,590	0,640	0,650	0,602	0,473
-------------------------	-------	-------	-------	-------	-------

 $Re = 213,6$  $d = 0,431 \text{ mm}$  $\varphi = 60^\circ$  $w = 0,530 \text{ m s}^{-1}$ 

$w_m [\text{m s}^{-1}]$	0,758	0,869	0,932	0,733	0,679
-------------------------	-------	-------	-------	-------	-------

 $Re = 201,7$  $d = 0,421 \text{ mm}$  $\varphi = 90^\circ$  $w = 0,558 \text{ m s}^{-1}$ 

$w_m [\text{m s}^{-1}]$	0,810	0,850	0,824	0,787	0,690
-------------------------	-------	-------	-------	-------	-------

## TABULKA II

## pokračování

$Re = 315,4$

$d' = 0,559 \text{ mm}$

$\varphi = 30^\circ$

$w = 0,497 \text{ m s}^{-1}$

$w_m [\text{m s}^{-1}]$

0,710

0,715

0,760

0,709

0,700

$Re = 380,4$

$d' = 0,471 \text{ mm}$

$\varphi = 60^\circ$

$w = 0,622 \text{ m s}^{-1}$

$w_m [\text{m s}^{-1}]$

0,829

0,917

1,090

0,907

0,886

$Re = 263,3$

$d' = 0,460 \text{ mm}$

$\varphi = 90^\circ$

$w = 0,753 \text{ m s}^{-1}$

$w_m [\text{m s}^{-1}]$

1,040

1,520

1,130

1,085

0,885

TABULKA III

VSST  
Liberec

## Sdílení tepla v tenké vrstvě

L 10

Temperatura povrchu desky °C							
Úhel sklonu	$\varphi$	$t_1'$	$t_2'$	$t_3'$	$t_4'$	$t_5'$	$t_6'$
1	90	25,6	47,0	51,8	46,97	24,9	56,1
2	90	35,6	52,5	59,8	52,5	36,9	60,9
3	90	51,8	68,1	72,0	67,9	54,4	69,7
4	90	54,0	72,9	72,9	72,9	54,8	73,9
5	90	37,85	54,05	58,28	57,48	37,88	60,33
6	90	40,8	58,8	65,8	61,7	42,8	66,7
7	90	58,5	70,5	75,8	74,2	58,6	83,2
8	90	70,1	82,7	87,7	85,1	71,0	84,5
9	90	51,03	63,1	67,18	65,75	48,23	70,18
10	90	62,75	71,4	75,75	75,75	59,08	80,5
11	90	74,08	82,55	82,55	82,55	69,85	84,15
12	60	43,5	60,1	64,7	61,6	46,2	63,4
13	60	27,1	42,8	52,6	51,6	31,1	51,9
14	60	36,6	53,9	59,3	59,3	37,7	59,4
15	60	56,1	67,2	73,6	72,7	63,7	76,4

Katedra termomechaniky

TABULKA III - pokračování

		Termostata povrchu desky °C							
Úhel sklonu φ		t <sub>1</sub>	t <sub>2</sub>	t <sub>3</sub>	t <sub>4</sub>	t <sub>5</sub>	t <sub>6</sub>	t <sub>7</sub>	t <sub>8</sub>
16	60	59,6	74,4	80,7	61,2	80,5	83,1	84,2	83,5
17	60	22,1	40,8	49,8	22,0	47,6	42,6	42,7	44,8
18	60	37,5	54,4	61,4	37,5	60,2	55,1	59,1	57,0
19	60	18,63	37,25	45,25	37,83	20,33	50,15	50,15	51,18
20	60	38,33	59,7	59,7	37,78	60,53	60,53	67,08	67,08
21	60	39,58	61,63	61,63	38,7	57,45	60,08	66,88	66,88
22	60	52,68	70,0	70,0	51,28	72,65	74,23	82,08	63,13
23	60	63,23	79,93	79,93	79,63	59,43	82,2	83,28	86,93
24	30	25,7	46,7	49,1	46,9	24,7	50,0	50,0	53,3
25	30	38,4	57,4	59,7	55,9	36,9	61,8	61,8	69,9
26	30	49,9	63,0	67,3	63,0	50,0	71,0	72,1	81,4
27	30	37,6	53,8	58,8	52,7	33,5	59,2	54,6	58,7
28	30	27,8	45,4	52,3	45,6	26,4	49,6	46,9	48,8
29	30	37,9	53,82	56,25	54,48	37,45	54,73	44,55	46,55
30	30	37,75	54,78	55,93	55,08	38,08	54,1	45,85	52,43

Katedra termomechaniky

VŠST  
Liberec

Sdílení tepla v tenké vrstvě

L 11

TABUĽKA III - pokračovanie

	Teplota povrchu desky °C							Vstupná teplota vody $t_{v1}$ [°C]	Vstupná teplota vody $t_{v2}$ [°C]	Sírovodík	Stredná teplota vody $t_{sv}$ [°C]	Sírovodík	Teplota desky $t_{dsk}$ [°C]	$\Delta t = \bar{t}_{sv} - \bar{t}_{dsk}$ [°C]	Teplota kondenzátu $t_{kon}$ [°C]	
	$t_{11}$	$t_{12}$	$t_{13}$	$t_{14}$	$t_{15}$	$t_{16}$	$t_{17}$									
1	53,4	57,7	48,6	33,7	24,6	46,2	35,4	47,68	12,28	46,0						
2	56,7	59,6	56,4	46,9	36,4	52,1	43,25	52,47	9,12	52,0						
3	70,0	70,0	69,0	62,1	56,9	64,7	60,8	67,13	6,33	64,0						
4	76,2	76,9	73,6	64,3	58,6	70,7	64,65	73,92	9,27	72,0						
5	71,45	71,43	62,7	50,15	28,2	56,26	47,22	60,19	12,97	58,0						
6	73,5	73,5	61,0	55,4	45,9	66,3	56,35	64,79	8,44	67,0						
7	81,8	81,8	73,9	68,5	57,8	74,4	66,1	75,10	9,0	75,5						
8	86,0	86,0	82,7	78,6	68,8	81,7	75,25	82,72	7,47	79,3						
9	77,98	75,68	70,18	57,72	47,23	63,2	55,21	68,25	13,04	62,0						
10	94,98	81,95	83,0	68,58	58,65	73,83	66,23	79,83	13,6	76,0						
11	99,8	91,25	97,45	79,23	68,25	83,5	76,0	87,95	11,25	84,5						
12	82,1	76,7	71,5	62,0	44,9	63,0	52,95	66,15	12,55	69,0						
13	55,7	53,6	51,0	40,9	29,9	44,7	37,3	47,82	10,52	48,0						
14	67,5	63,3	66,6	49,7	40,8	56,0	48,4	57,13	8,72	56,0						
15	85,9	80,1	80,1	67,0	58,7	70,1	64,4	73,92	9,52	72,0						

TABULKA III - pokračování

VŠST  
Liberec

Sdílení tepla v tenké vrstvě

L 13

Tehlo řízení [mm] [cm <sup>2</sup> ]	Tehlo povrchu desky °C			Vstupní teplota vody $t_1$ [°C]			Vstupní teplota vody $t_{r1}$ [°C]			Vstupní teplota vody $t_{r2}$ [°C]			Střední teplota teplota deský $t_{sr}$ [°C]			Střední teplota teplota deský $t_{sr}$ [°C]			Tehlo konden- sať $t_{cond}$ [°C]		
	$t_{sr}$	$t_{r1}$	$t_{r2}$	$t_{sr}$	$t_{r1}$	$t_{r2}$	$t_{sr}$	$t_{r1}$	$t_{r2}$	$t_{sr}$	$t_{r1}$	$t_{r2}$	$t_{sr}$	$t_{r1}$	$t_{r2}$	$t_{sr}$	$t_{sr}$	$t_{cond}$			
16	82,5	83,6	81,9	70,7	62,0	73,9	67,95	76,73	8,78	74,0											
17	56,0	49,1	48,8	39,2	21,9	40,5	31,2	45,0	13,8	45,0											
18	65,9	60,7	59,0	50,6	37,8	52,5	45,14	55,4	10,25	56,0											
19	50,7	52,23	40,88	32,18	19,05	31,55	25,3	38,17	12,87	31,0											
20	88,28	73,9	57,58	55,83	38,33	59,75	49,04	61,82	12,78	72,0											
21	85,15	78,75	57,1	56,05	38,6	62,63	50,61	62,9	12,29	75,0											
22	100,55	85,83	66,2	69,18	50,43	70,85	60,64	74,39	13,76	81,0											
23	104,73	91,18	75,23	75,23	58,85	76,85	67,85	79,73	11,88	86,0											
24	55,3	63,3	55,8	37,9	24,2	50,9	37,55	46,0	8,45	71,0											
25	75,2	75,1	59,8	37,9	60,1	49,0	61,25	12,25	83,0												
26	84,5	82,4	82,4	74,4	45,5	71,5	58,5	68,15	9,65	94,0											
27	62,6	62,6	47,3	35,4	55,1	45,24	52,5	7,25	75,0												
28	54,5	54,5	37,4	25,5	46,9	36,2	42,9	6,7	68,0												
29	67,78	53,7	53,08	53,15	53,5	53,6	43,55	50,15	6,6	79,0											
30	77,15	59,28	56,1	55,9	35,0	54,4	44,7	51,85	7,15	77,0											

TABULKA III - pokračování

Tlak páry $t_p$ [°C]	Tlak páry $t_p$ [kPa]	Množství vodík vody $m_v$ [kg h <sup>-1</sup> ]	Oteplení vodík vody $\Delta t_v$ [deg]	$Q_v = m_v c_v \Delta t_v$ [kcal h <sup>-1</sup> ]	Množství kondensátu $m_{kg}$ [kg h <sup>-1</sup> ]	Entalpie páry $h_f$ [kcal kg <sup>-1</sup> ]	$Q_h = h_f - t_k$ [kcal h <sup>-1</sup> ]	$\bar{\alpha}$ [kcal m <sup>-2</sup> h <sup>-1</sup> ]
1 106,0	1,265	340	21,6	7 344,0	12,5	641,2	7 595,0	1 988,7
2 104,5	1,2	353	15,7	5 542,1	8,65	640,6	5 529,8	1 843,9
3 108,5	1,4	353	7,8	2 753,4	7,3	642,3	4 382,2	2 226,0
4 112,5	1,58	315	12,1	3 811,5	9,8	643,7	5 798,7	2 011,4
5 104,0	1,19	408	18,05	7 364,4	15,2	640,5	8 854,0	2 195,0
6 108,0	1,325	326	20,9	6 813,4	10,4	642,2	6 200,5	2 362,2
7 110,5	1,45	321	16,6	5 328,6	8,95	643,0	5 217,9	1 864,2
8 114,5	1,725	366	12,9	4 721,4	9,7	644,4	5 581,4	2 402,5
9 107,0	1,32	380	15,97	6 068,6	13,08	641,7	7 582,5	1 869,7
10 112,0	1,57	388	15,18	5 889,8	15,72	643,5	8 921,1	2 109,9
11 119,0	1,97	378	15,0	5 670,0	17,54	646,0	9 839,9	2 787,6
12 102,5	1,08	530	18,1	9 593,0	20,9	640,0	11 933,9	3 057,6
13 102,5	1,08	510	14,8	7 548,0	16,7	640,0	9 886,4	3 021,8
14 106,0	1,28	520	15,2	7 904,0	16,5	641,4	9 659,1	3 561,7
15 113,0	1,6	520	11,4	5 928,0	16,2	643,8	9 263,2	3 128,7

TABULKA III - pokračování

	Teplo pary $t_p$ [°C]	Teplo pary $\eta_p$ [skrom.]	Množství vody vody	Odvolení rody [kg h <sup>-1</sup> ]	Množství kondensátu rody [kg h <sup>-1</sup> ]	Entalpie rody [kcal h <sup>-1</sup> ]	$a_p = \eta_p \cdot c_{p,h}$ [kcal m <sup>-2</sup> h <sup>-1</sup> °C <sup>-1</sup> ]	$\bar{a}_p$ [kcal m <sup>-2</sup> h <sup>-1</sup> °C <sup>-1</sup> ]	$\bar{\alpha}$
16	121,0	2,11	512	11,9	6 092,8	15,5	646,8	8 876,4	3 251,3
17	102,5	1,08	520	18,6	9 672,0	19,4	640,0	11 543,0	2 689,6
18	106,0	1,27	495	14,7	7 276,5	14,1	641,4	8 254,1	2 589,3
19	107,0	1,32	470	12,5	5 875,0	10,32	641,7	6 312,7	1 577,6
20	105,0	1,18	480	21,42	10 281,6	19,92	640,9	11 322,5	2 848,7
21	107,0	1,32	480	24,03	11 534,4	20,9	641,7	11 844,0	3 098,8
22	112,5	1,58	478	20,42	9 760,8	20,42	643,7	11 490,3	2 685,1
23	117,0	1,84	478	18,0	8 604,0	20,12	645,4	11 255,0	3 047,2
24	102,5	1,05	470	26,7	12 549,0	24,2	40,0	13 769,8	5 239,8
25	105,0	1,18	621	22,2	13 786,2	25,8	640,7	14 388,7	3 776,8
26	114,5	1,6	630	26,0	16 280,0	29,0	644,2	15 952,9	5 315,6
27	105,0	1,18	625	19,7	12 312,5	24,2	640,7	13 237,4	5 870,9
28	102,5	1,05	625	21,4	13 375,0	23,3	640,0	13 327,6	6 396,1
29	105,5	1,19	673	20,1	13 527,3	23,95	641,2	13 465,8	6 560,4
30	105,0	1,2	616	19,4	11 950,4	21,76	640,9	12 270,5	5 518,2

TABUĽKA III - pokračovanie

VŠST  
Liberec

Sdílení tepla v tenké vrstvě

L 16

$Re$	Kinematická ristozita $V \cdot 10^{-6}$ $[m^2 s^{-1}]$	Tepelná vodivost $\lambda$ [ $ kcal m^{-1} h^{-1} deg^{-1}$ ]	$\rho_r$	$d$ [mm]	$Nu$	$Nu \cdot \rho_r^{-0.6}$
1	456,7	0,718	0,539	4,78	0,420	1,549
2	550,0	0,619	0,5495	4,00	0,427	1,433
3	719,8	0,473	0,5675	2,955	0,413	1,62
4	681,2	0,446	0,571	2,78	0,385	1,256
5	678,5	0,580	0,554	3,73	0,457	1,811
6	622,6	0,505	0,5625	3,18	0,399	1,673
7	708,5	0,437	0,572	2,72	0,287	1,261
8	912,1	0,387	0,5775	2,35	0,409	1,702
9	713,1	0,514	0,5625	3,25	0,433	1,429
10	858,3	0,436	0,572	2,72	0,453	1,671
11	949,4	0,284	0,578	2,35	0,415	2,001
12	979,3	0,522	0,5615	3,32	0,544	2,962
13	709,8	0,693	0,542	4,57	0,552	3,078
14	881,4	0,569	0,5555	3,65	0,544	3,488
15	1 119,5	0,448	0,5705	2,80	0,527	2,89

Katedra termomechaniky

TABULKA III - pokračování

Katedra termomechaniky

číslo měření	Re	Kinematička vlnkovitá $\nu \cdot 10^{-6}$ $[m^2 s^{-1}]$	Tepelná vodivost $\lambda$ $[kcal m^{-1} K^{-1}]$	$\rho_r$ $[mm]$	$\delta'$ $[mm]$	$Nu$	$Nu \cdot \rho_r^{-0.4}$
		Liberec					
1	456,7	0,718	0,539	4,78	0,420	1,549	0,828
2	550,0	0,619	0,5495	4,00	0,427	1,433	0,8250
3	719,8	0,473	0,5675	2,955	0,413	1,62	1,0499
4	681,2	0,446	0,571	2,78	0,385	1,356	0,901
5	678,5	0,580	0,554	3,73	0,457	1,811	1,07
6	622,6	0,505	0,5635	3,18	0,399	1,673	1,054
7	708,5	0,437	0,572	2,72	0,387	1,261	0,845
8	912,1	0,387	0,5775	2,35	0,409	1,702	1,21
9	713,1	0,514	0,5625	3,25	0,433	1,439	0,898
10	858,3	0,436	0,572	2,72	0,453	1,671	1,12
11	949,4	0,384	0,578	2,35	0,415	2,001	1,422
12	979,3	0,522	0,5615	3,32	0,544	2,962	1,833
13	709,8	0,693	0,542	4,57	0,552	3,078	1,676
14	881,4	0,569	0,5555	3,65	0,544	3,488	2,077
15	1 119,5	0,448	0,5705	2,80	0,527	2,89	1,915

TABULKA III - pokračování

VŠST  
Liberec

Sdílení tepla v tenké vrstvě

L 16

$Re$	Kinematická viskozita $\nu \cdot 10^{-6}$ [ $m^2 s^{-1}$ ]	Tepelná rodisost $\lambda$ [ $W/m^2 K^{-1} deg^{-1}$ ]	$\rho_r$	$\delta'$ [mm]	$Nu$	$Nu \cdot \beta_r^{-0.4}$
1	456,7	0,718	0,539	4,78	0,420	1,549
2	550,0	0,619	0,5495	4,00	0,427	1,433
3	719,8	0,473	0,5675	2,955	0,413	1,62
4	681,2	0,446	0,571	2,78	0,385	1,356
5	678,5	0,580	0,554	3,73	0,457	1,811
6	622,6	0,505	0,5635	3,18	0,399	1,673
7	708,5	0,437	0,572	2,72	0,387	1,261
8	912,1	0,387	0,5775	2,35	0,409	1,702
9	713,1	0,514	0,5625	3,25	0,433	1,439
10	858,3	0,436	0,572	2,72	0,453	1,671
11	949,4	0,384	0,578	2,25	0,415	2,001
12	979,3	0,522	0,5615	3,32	0,544	2,962
13	709,8	0,693	0,542	4,57	0,552	3,078
14	891,4	0,569	0,5555	3,65	0,544	3,488
15	1 119,5	0,448	0,5705	2,80	0,527	2,89

TABUĽKA III - pokračovanie

číslo mēření	$Re$	Kinetická viskozita $\eta \cdot 10^{-6}$ [ $m^2 s^{-1}$ ]	Tepelná vodivost $\lambda$ [ $W m^{-1} K^{-1}$ ]	$\rho$	$\sigma$	$Nu$	$Nu \cdot \lambda_r^{-0.4}$	VSSV	
								Liberec	Sdílený tepla a tenké vrstvy
1	456,7	0,718	0,539	4,78	0,420	1,549	0,828		
2	550,0	0,619	0,5495	4,00	0,427	1,433	0,8250		
3	719,8	0,473	0,5675	2,955	0,413	1,62	1,0499		
4	681,2	0,446	0,571	2,78	0,385	1,356	0,901		
5	678,5	0,580	0,554	3,73	0,457	1,811	1,07		
6	622,6	0,505	0,5635	3,18	0,399	1,673	1,054		
7	708,5	0,437	0,572	2,72	0,387	1,261	0,845		
8	912,1	0,387	0,5775	2,35	0,409	1,702	1,21		
9	713,1	0,514	0,5625	3,25	0,433	1,439	0,898		
10	858,3	0,436	0,572	2,72	0,453	1,671	1,12		
11	949,4	0,384	0,578	2,35	0,415	2,001	1,422		
12	979,3	0,522	0,5615	3,32	0,544	2,962	1,833		
13	709,8	0,693	0,542	4,57	0,552	3,078	1,676		
14	881,4	0,569	0,5555	3,65	0,544	3,488	2,077		
15	1 119,5	0,448	0,5705	2,80	0,527	2,89	1,915		

TABULKA III - pokračování

VŠST  
Liberec

Sdílení tepla v tenké vrstvě

L 17

$Re$	Kinetická viskozita $\eta \cdot 10^{-4}$ [ $m^4 s^{-1}$ ]	Tepelná vodivost $A$ [ $kcal m^{-1} deg^{-1}$ ]	$P_r$	$\delta$ [mm]	$Nu$	$Nu \cdot P_r^{-0,4}$
16	1 161,9	0,425	0,5735	2,64	0,520	2,948
17	643,0	0,780	0,533	5,32	0,569	2,871
18	795,7	0,600	0,552	3,87	0,534	2,505
19	509,3	0,89	0,5235	6,24	0,548	1,651
20	820,9	0,564	0,556	3,61	0,520	2,664
21	841,7	0,550	0,558	3,51	0,5198	2,887
22	974,7	0,473	0,5675	2,96	0,509	2,408
23	1 082,2	0,426	0,573	2,65	0,500	2,659
24	658,9	0,689	0,5425	4,55	0,635	6,123
25	801,2	0,564	0,5565	3,61	0,718	4,873
26	1 245,1	0,488	0,5655	3,07	0,712	6,693
27	1 006,4	0,599	0,552	2,86	0,725	7,711
28	852,6	0,707	0,5405	4,69	0,740	8,757
29	1 053,8	0,616	0,550	4,00	0,7598	9,063
30	982,0	0,605	0,5515	3,91	0,722	7,224
						4,188

1998/1999

London

1998

J 40 S